

ISSN 0452-2982
UDC 533.6.013
681.31

航空宇宙技術研究所資料

TECHNICAL MEMORANDUM OF NATIONAL AEROSPACE LABORATORY

TM-655

H O P E 風洞試験データベースについて

(その1)

伊藤 忠・穂積 弘一・吉澤 昭
河本 厳・石塚 只夫

1993年5月

航空宇宙技術研究所
NATIONAL AEROSPACE LABORATORY

目 次

ABSTRACT	1
概要	1
1. まえがき	2
2. 記号	2
3. HOPE風洞試験模型形状	2
4. HOPE風洞試験項目	3
4. 1 低速 6 分力試験	3
4. 2 遷・超音速 6 分力試験	6
4. 2. 1 遷音速 6 分力試験	6
4. 2. 2 超音速 6 分力試験	6
4. 2. 3 HOPE／ロケット組合せ 6 分力試験	6
4. 3 極超音速 6 分力試験	6
5. HOPEデータベース収納パラメータ	6
5. 1 62HOPE 6 分力風洞試験データ	6
6. HOPE風試データベースの利用方法および諸例	8
6. 1 メニュー選択方式による利用の方法	8
6. 1. 1 データベース開設の方法	8
6. 2 検索方法と結果の表示	8
6. 2. 1 図形表示	8
6. 2. 2 表形式表示	9
6. 2. 3 検索条件設定の方法	10
6. 2. 4 データベース閉設の方法	10
6. 3 データベース利用諸例	10
6. 3. 1 3 形状の各空力係数の比較表示	10
6. 3. 2 速度の変化による空力係数の比較表示	10
6. 3. 3 尾翼形態変更効果の比較表示	14
6. 3. 4 チップフィン効果の比較表示	14
7.まとめ	14
参考文献	15
付表リスト	17

HOPE風洞試験データベースについて（その1）*

UDC 533.6.013

681.31

伊藤 忠^{*1}・穂積弘一^{*1}・吉澤 昭^{*1}
河本 嶽^{*2}・石塚只夫^{*3}

Data Base for HOPE Wind Tunnel Tests (Part 1)

Tadashi ITO^{*1}, Kooithi HOZUMI^{*1}
Akira YOSIZAWA^{*1}
Iwao KAWAMOTO^{*2} and Tadao ISIZUKA^{*3}

ABSTRACT

The cooperative research work on the development of HOPE (H-II rocket orbiting plane) has been conducted by the National Aerospace Laboratory (NAL) and the National Space Development Agency (NASDA) since 1987.

As a part of this research, wind tunnel tests were conducted to analyze the aerodynamic characteristics of several candidate shapes of the orbiter. All data obtained in the tests were recorded as "the HOPE Wind Tunnel Data Base" in the NAL Data Base system.

This report describes the contents of the wind tunnel data base compiled during the first stage (1987 ~ 1989) of research and also provides the information necessary to use the Data Base system.

Some output examples of the system are also shown, demonstrating how this data base can be used to understand the aerodynamic characteristics for several different configurations, flow Mach number, and attitude angles.

概要

航空宇宙技術研究所と宇宙開発事業団との間で、H-IIロケット打上げ型有翼宇宙往還機（HOPE）の研究開発について共同研究が1987年より実施されている。空力特性の研究の一環として想定される往還機形状模型の風洞試験が実施されているが、その全データを航空宇宙技術研究所のデータベースシステムに「HOPEデータベース」として収録している。

本報告では、共同研究第Ⅰ期（1987～1989）で行った62HOPE形状の風洞試験概要とそのデータベースの利用方法及び諸例について述べる。

* 平成5年3月31日受付 (received 3 / March 1993)

*1 空気力学部 (Aerodynamics Division)

*2 空力性能部 (Aircraft Aerodynamics Division)

*3 数理解析部 (Computational Sciences Division)

1. まえがき

我が国でいまだに経験のない有翼回収機の実施を目指しているH-IIロケット打上げ型有翼宇宙往還機（HOPE）の研究開発については、航空宇宙技術研究所と宇宙開発事業団との間で昭和62年度～平成元年度を第Ⅰ期、平成2年度～平成4年度を第Ⅱ期として共同研究が実施されている。共同研究の内の「空力特性の研究」の一環として、HOPEの風洞試験が実施された。

HOPEの風洞試験は、宇宙往還機が地球周回軌道から再突入して、地球上の滑走路に水平に着陸するまでの範囲、並びに宇宙往還機がH-IIロケットに搭載された打上げ形態での飛行範囲をカバーしなければならない。然しながら、現在我が国が保有する風洞では、低速からマッハ11程度の試験が限界となる。そこで、HOPE共同研究第Ⅰ期での風洞試験としては

- ①低速風洞 : 航空宇宙技術研究所
三菱重工業株式会社
川崎重工業株式会社
富士重工業株式会社
 - ②遷音速風洞 : 航空宇宙技術研究所
川崎重工業株式会社
富士重工業株式会社
 - ③超音速風洞 : 航空宇宙技術研究所
富士重工業株式会社
 - ④極超音速風洞 : 航空宇宙技術研究所
 - ⑤衝撃風洞 : 航空宇宙技術研究所
- の諸風洞を用いて、低速からマッハ数7.1までの空力特性試験が実施された。

これらの風洞を用いたHOPEに関する風洞試験は、全てこの共同研究の枠内で両機関の協力の下に実施されており、その詳細は共同研究成果報告書に記載されている。^{1・2)}

これらの極めて膨大なHOPE空力特性データを効率よく参照して空力設計に役立てると共に、データの散逸を防ぐため、航空宇宙技術研究所の数値シミュレータに含まれているデータベースシステムに、これらの全データを収納して関係者の有効利用に処することとした。

この目的で、昭和63年度、平成元年度に実施された62HOPE形状についての風洞試験において、上記の各風洞サイドから、一連の風洞試験の終了後に共通フォーマットで記載された全風洞データを磁気テープの形で提出を受け、航空宇宙技術研究所のデータベースシステムに「HOPEデータベース」として収録した。これらのデータベースの有効な利用方法について検討し、その結果の一部はすでにHOPE空力特性の検討に役立てられている。（航空宇宙技術研究所／宇宙開発事業団の平成元年度成果報告書）

これら一連の空力特性試験の一環として、当所極超音速

風速を用いた空力加熱風洞試験が実施されているが、これらの詳細な加熱分布についてのデータをどの様にデータベースとして取扱うか、その方法について検討中であるため、本報告では触れていない。

本報告書においては、62HOPE形状についての風洞試験概要とその「HOPEデータベース」の内容、その利用方法並びにこれを用いた諸条件下での特性の比較の諸例について述べる。

2. 記号

C_d , CD	: 抗力係数
$C_{d\alpha}$, CDF	: 前面抗力係数
C_L , CL	: 揚力係数
CLB	: 横搖モーメント係数（機体軸）
C_{ls} , CLS	: 横搖モーメント係数（安定軸）
C_m , CM	: 縦搖モーメント係数
CNB	: 偏搖モーメント係数（機体軸）
C_{ns} , CNS	: 偏搖モーメント係数（安定軸）
CYB	: 橫力係数（機体軸）
C_{ys} , CYS	: 橫力係数（安定軸）
L/D	: 揚抗比（揚力係数／抗力係数）
M	: マッハ数
α	: 迎角
β	: 横滑角
ϕ	: パンク角
δ_a	: エルロン（舵角）
δ_{BF}	: ボデーフラップ（°）
δ_{BSB} , δ_{BS}	: 脚上スピードブレーキ（°）
δ_c	: カナード（°）
δ_{CANT} , θ_{TP}	: チップファインキャント角
δ_{TP}	: " "
δ_e	: エレベータ、エレボン（舵角）
δ_e^{in}	: エレボン内舷（°）
δ_e^{out}	: エレボン外舷（°）
δ_{el}	: エレボン左舷（°）
δ_{er}	: エレボン右舷（°）
δ_{ESB} , δ_s	: エレボンスピードブレーキ（°）
δ_{SB}	: " "
δ_r	: ラダー（°）
δ_{RSB}	: ラダースピードブレーキ（°）

3. HOPE風洞試験模型形状

風試データベースとしては、理想的には模型形状もデータとし収納されていることが望ましいが、本システムでは困難であるため図示によった。

風洞試験に用いるHOPEの形状は、昭和62年度宇宙開発事業団（NASDA）のシステム検討結果を基とした図1～

図3に示す3形状である。小型で比較的細長い胴体を持つ62A形状（図1）を基本として、これより大型の胴体を持つ62B形状（図2）、および前胴にカナード翼を持つ62C形状（図3）である。表1に風洞試験の概要を示す。低速風洞より極超音速風洞までの各風洞で使用した模型は8種類でその相対的寸法を示す。

基本形態（舵角を 0° とした状態で図1～3に示す基本的な形態）に於ける空力特性、尾翼、チップフィンキャント角、舵角、ストレーキ、カナード、スピードブレーキ、ボディフラップ等を変更させた場合の空力特性及び地面効果、支持干渉効果、脚下げ効果、レイノルズ数効果、圧力分布、気流の流れを観察するためのオイルフローの試験が表1に示す8基の風洞で合計896RUN実施された。

HOPE単体の6分力試験のほかに、HOPEとH-IIロケットとの組合せによるHOPE/H-IIロケット組合せ形態（図4）の6分力試験も実施された。

打上げ形態の風試は、ロケット頭部に有翼の往還機を搭載して上昇飛翔中に、特に遷音速近傍でジェット気流による横風を受け、ロケット重心周りに大きい回転モーメントが発生する問題に対する試験である。H-IIロケットの推力方向制御能力範囲内に横風による回転モーメントが入っているかどうかは重要な要素であるため、ロケットに対して大きさの異なる相似62AHOPEを取付けた4種の形態の

模型（図4）について風洞試験が実施された。ロケットファインの効果を見るための形態も含んでいる。

また、当所の極超音速風洞において、62A形状のHOPE熱模型による空力加熱の試験も実施されているが、主に相変化塗料を用いた画像処理データとして得られており、他の力試験データと全く異なるため、データベースとしての取扱いについて検討中である。

4. HOPE風洞試験項目

4.1 低速6分力試験

62A、62B、62C各形状の低速領域における縦及び横の空力特性、尾翼特性、各種舵効き特性、チップフィンキャント角特性、カナード特性、ボディフラップ特性、スピードブレーキ効果、レイノルズ数効果、脚下げ効果、支持干渉効果、地面効果、気流特性および、62A形状の尾翼形態変更特性（単垂直尾翼、双垂直尾翼、尾翼なし）のデータを取得するための試験が三菱重工（MHI）、川崎重工（KHI）および、富士重工（FHI）のそれぞれの低速風洞で実施された。

62A形状の尾翼形態変更模型の概略を図5に示す。各形状による風洞試験項目を付表1、付表2、および付表3に示す。

各付表でのTest NO.をデータ図示中に示している。Test

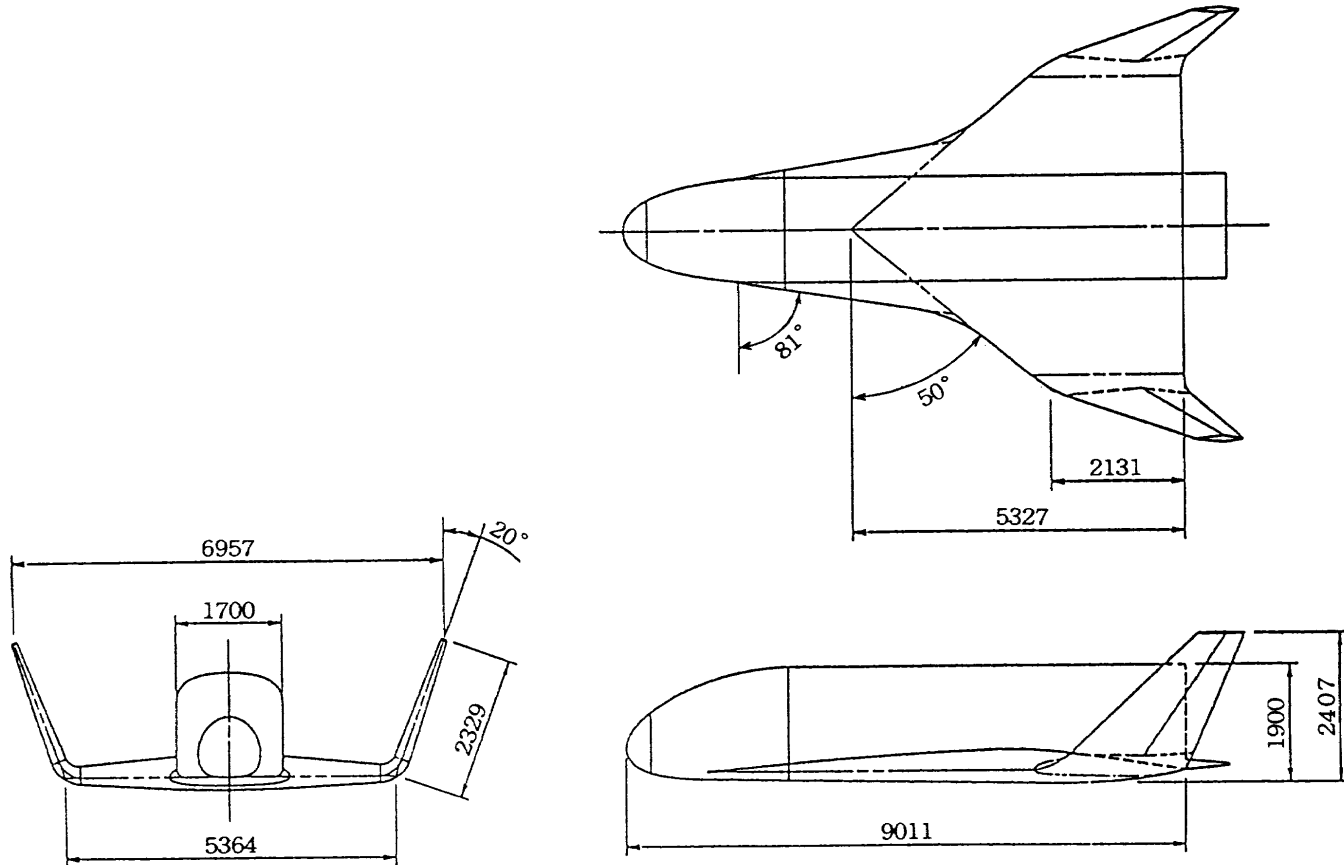


図1 62A形状HOPE三面図（寸法単位mm、以下の図も同様）

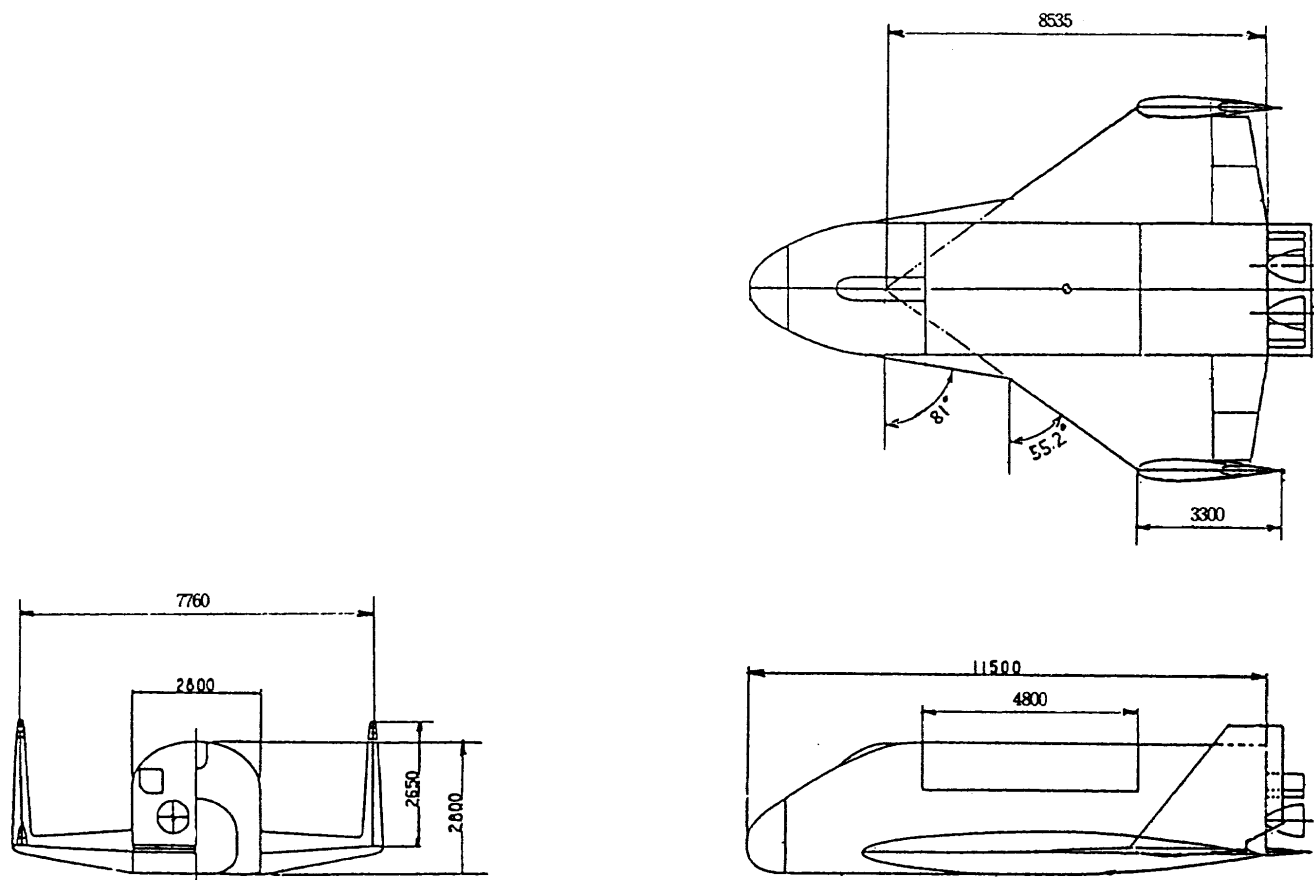


図2 62B形状HOPE三面図

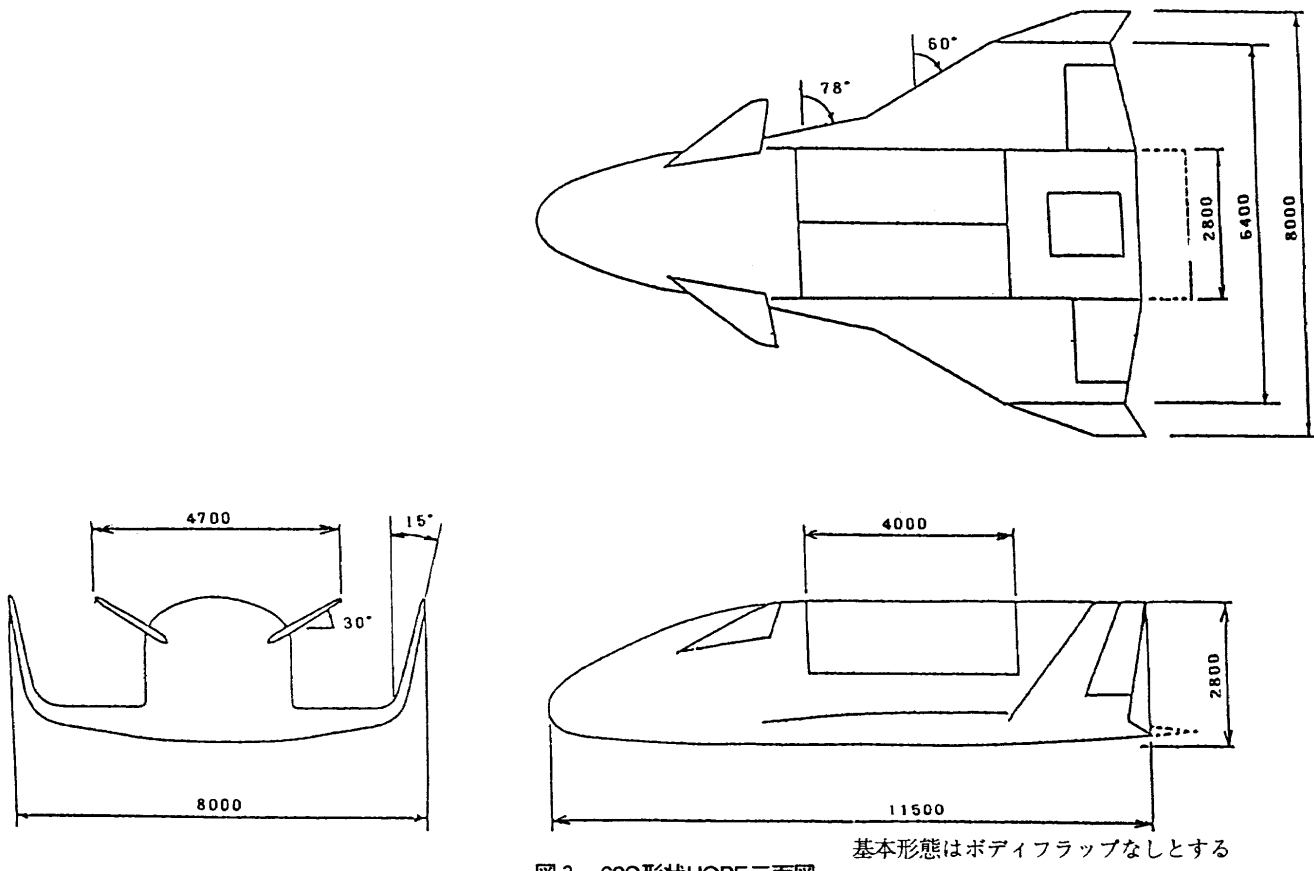
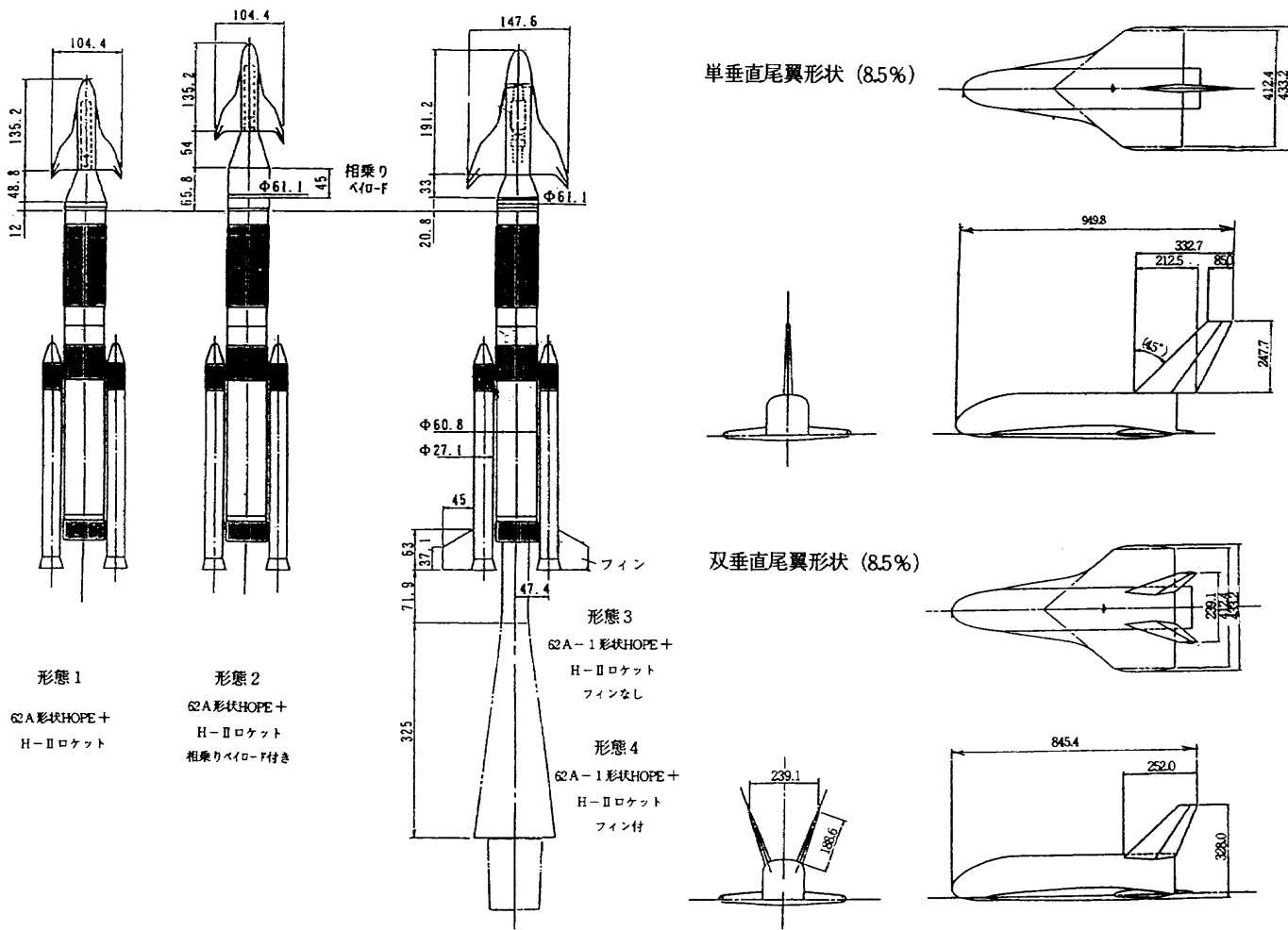
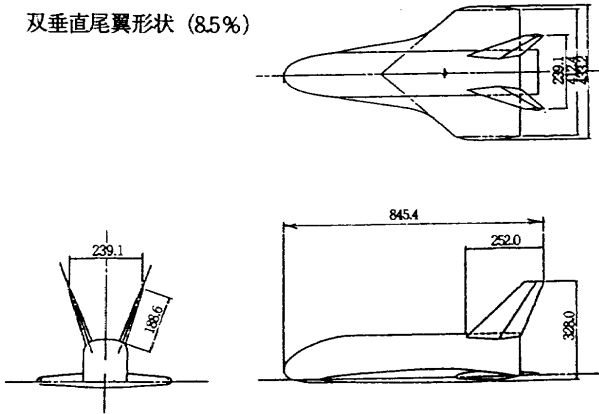


図3 62C形状HOPE三面図

表1 HOPE風洞試験概要

領域	使用風洞	機体形状	風洞試験模型	試験項目	試験条件			試験回数
					風速/ τ, n 数	迎角(度)	横滑角(度)	
低速領域	MHI 2m低速風洞	62A	8.5%低速風洞模型	六分力	低速60m/s	-10~26	-16~16	91
	KHI 2.5m低速風洞	62B	10%低速風洞模型	六分力	低速50m/s以下	-10~30	-20~20	154
	FHI 2m低速風洞	62C	8%低速風洞模型	六分力	低速80m/s以下	-10~33	-20~20	128
遷、超音速 領域	KHI 1m遷音速風洞	62B	3%遷音速風洞模型	六分力	0.2~1.4	-4~30	-4~14	185
	FHI 0.6m高速風洞	62C	1.8%極超音速風洞模型	六分力	0.2~4.0	0~40	-10~10	158
	NAL 1m超音速風洞	62B	3%遷音速風洞模型	六分力	1.5~3.5	-5~40	-5~20	18
	NAL 2m遷音速風洞	62A/H-II	1.5%組合せ風洞模型	六分力	0.8~1.3	-10~10	Φ0~90	64
	NAL 1m超音速風洞	62A/H-II	1.5%組合せ風洞模型	六分力	1.5~2.5	-10~10	Φ0~90	34
極超音速 領域	NAL 0.5m 極超音速風洞	62A	2.3%極超音速風洞模型	六分力	7.1	0~40	-5	21
		62B	1.5%極超音速風洞模型	六分力	7.1	-10~50	-20~20	22
		62C	1.8%極超音速風洞模型	六分力	7.1	0~40	-10~10	21

図4 HOPE/H-IIロケット組み合わせ風洞模型概要
(寸法単位mm)図5 62A形状の尾翼形状変更模型
(寸法単位mm、低速風洞用)

NO.中のML、KL、FLは夫々三菱重工(株)、川崎重工(株)、富士重工(株)の低速風洞を示している。

4.2 還・超音速6分力試験

4.2.1 還音速6分力試験

62B、62C形状における縦及び横の空力特性、各種舵効き特性、尾翼特性、チップフィンキャント角特性、翼平面形特性、スピードブレーキ効果、カナード特性、支持干渉効果、及びレイノルズ数効果のデータを取得するための試験がKHI還音速風洞および、FHI高速風洞で実施された。風洞試験項目を付表4、および付表5に示す。各付表のTest NO.中の記号MT、KT、FTは付表1～3と同様で、各社の還音速風洞を示す。

4.2.2 超音速6分力試験

62B形状における縦及び横の空力特性および、各種舵効き特性の試験が、航空宇宙技術研究所(NAL)の超音速風洞で実施された。風洞試験項目を付表6に示す。付表6～11のTest NO.中の記号NS、NT、NHは、航技研の超音速風洞、還音速風洞、極超音速風洞を示す。

4.2.3 HOPE／ロケット組合せ6分力試験
H-IIロケットの上部にHOPEを搭載した模型を用いて、打ち上げ時に横風によるピッキングモーメントと主翼面積に関するデータを取得するため、図4に示した組合せ風洞模型を用いて、当所の還音速風洞および、超音速風洞で4形態の試験が実施された。風洞試験項目を表7、および付表8に示す。

試験は通常の6分力試験であるが、主翼面積を62A形状HOPEと比較して2倍した62A-1形状HOPEでは、H-IIロケットとHOPEの間に小型の天秤を入れ、全機の6分力とともにHOPE単体の6分力データも取得された。

4.3 極超音速6分力試験

62A、62B、62C各形状の極超音速領域における縦及び横の空力特性、各種舵効き特性、尾翼特性、62A形状における尾翼形態変更特性(単垂直美容、双垂直尾翼、尾翼なし)チップフィンキャント角特性、ならびに翼平面形特性のデータを取得するために当所の極超音速風洞で試験が実施された。

各形状による風洞試験項目を付表9、付表10、および付表11に示す。

HOPE単体および、HOPE／ロケット組合せ風洞試験データの舵角等符号の定義を図6にまた、空力係数の定義を図7に示す。

5. HOPEデータベース収納パラメータ

HOPEの各風洞での空力6分力試験データは、各試験機関又は、試験者によって、表2のHOPEの項目に示す各パラメータの値として提出されている。

5.1 62HOPE 6分力風洞試験データ

各風洞サイドからの一連の風洞試験データは共通フォー

δ_e	: エルロン	$\frac{1}{2} \times (\delta_d - \delta_a)$
δ_{BR}	: ボディーフラップ	後縁下げ 正
δ_{SS}	: 脚上スピードブレーキ	胴体よりの開き角、下図
δ_c	: カナード	後縁上げ 正
$\delta_{CANT}, \theta_{TP}$: チップ、フィンキャント角	下図
δ_e	: エレベータ	後縁下げ 正
δ_e, δ_e'' (内舵) δ_e''' (外舵)	: エレボン	後縁下げ 正
δ_e (左舵), δ_e (右舵)	: エレボンスピードブレーキ	両側開き角 正 下図
δ_{ES}	: ラダー	後縁左 正 下図
δ_e	: ラダースピードブレーキ	両側開き角 正 下図
δ_{SS}	: スピードブレーキ	

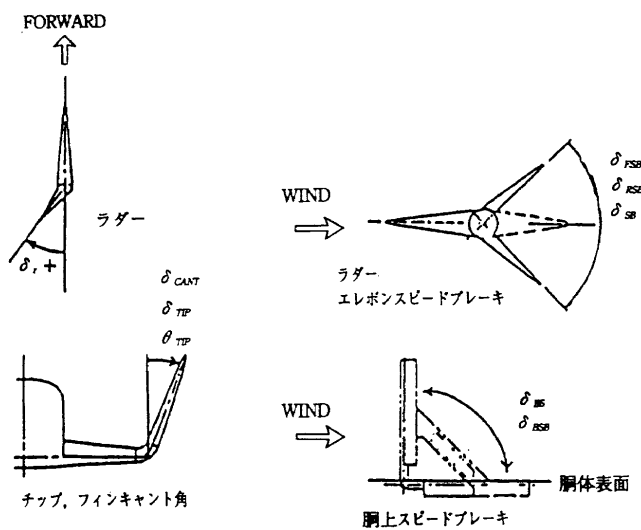


図6 舵角等符号の定義

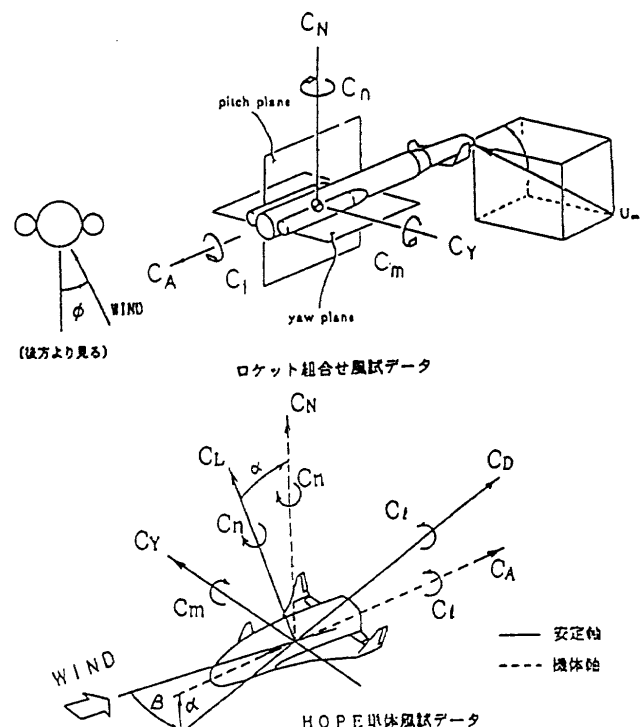


図7 空力係数の定義

表2 HOPEデータベース収納パラメータ

項目(NAL)	項目(HOPE)	摘要
TESTNO	I4	試験番号 C12 NAL 年度末尾+0+実験番号 HOPE
DATE	I4	年月日 I6 西暦(yyyymmdd)
MODELNAME	C12	模型I/D C12 模型名 (62A-L 62A-E 62A+ROCKET 62B-L 62B-T) ()
WTNAME	C8	風洞名 C12 風洞名 (NAL-TWT NAL-SWT NAL-BWT) LWT:低速風洞 (MB1-LWT MB1-SWT) TWT:遷音速風洞 (EB1-LWT EB1-TWT) SWT:超音速風洞 (FH1-LWT FH1-SWT) BWT:極超音速風洞
M		MACH E12.5 M, Ma, M . Y (7,八段, 風速(m/s))
RE		Re RE (V/m/s 数)
Q		q (動圧(kgf/cm²))
P		P0 Pt (総圧(kgf/cm²))
PS		P, Ps (静圧(kgf/cm²))
T		T (絶温(°C))
ALPHA		alpha (迎角(度))
BETA		beta (横滑角(度))
PBI		
CL	CL	C_L (安:揚力係数 -Zs方向(+))
CD	CD	C_D (安:抗力係数 -Xs方向(+))
CDFS	CDF	C_Dr (安:前面抗力係数)
CMS	CMS	C_m (安:緯摺れ-ソリット係数 頭上げ方向(+))
CYS	CY	C_y (安:機力係数 Ys方向(+))
CNS	CNS	C_n (安:偏摺れ-ソリット係数 右首振り(+))
CLS	CRS(CLS)	C_ls (安:横摺れ-ソリット係数 前方を見て時計回り(+))
CN	CN	C_n (横:法線力:垂直力係数 -Z方向(+))
CA	CA	C_a (横:軸力係数 -X方向(+))
CAF	CAF	C_ar (横:前面軸力係数)
CMB	CMSB	C_mb (横:緯摺れ-ソリット係数 頭上げ方向(+))
CYB	CYB	C_yb (横:機力係数 Y方向(+))
CNB	CNSB	C_nb (横:偏摺れ-ソリット係数 右首振り(+))
CLB	CLSB	C_lb (横:横摺れ-ソリット係数 前方を見て時計回り(+))
CAB	CBn	C_b (横:底面軸力係数 :E'-抵抗)

マットで磁気テープの形で提出され、当所が現在システム開発を進めている、数値シミュレーションに含まれているデータベースシステムにHOPE風試データベースの名称で収納された。

その共通フォーマットを図8及び下記に示す。

使用文字は英大文字、数字、記号とし小文字は不可とする。

(1) タイトル表示部

①試験データ判別のためのタイトル表示で連続400バイトとする。

②各タイトルはきめられたバイト位置内で左づめに書く。

③CB 1、CB 2 以後にその他の試験事項を追加してよい。

試験番号の指定のしかたを図9に示す。

(2) コメント表示部

①第1カラムより記載すること。

②スペースをとるときは3カラム以内とする。試験条件等400バイト以内に自由に記載することができる。

(3) データ記録部

①400バイト毎に試験回数だけくりかえす。

②1~10カラムはスペースとする。

③以下タイトルに表示した順序に従って、E12.5のフォーマットで記録する。

④400バイトに満たない場合は以後空白とする。

(4) 末尾部(ターミネータ)

①第1カラムよりENDとする。

②ターミネータ部は400バイトとする。

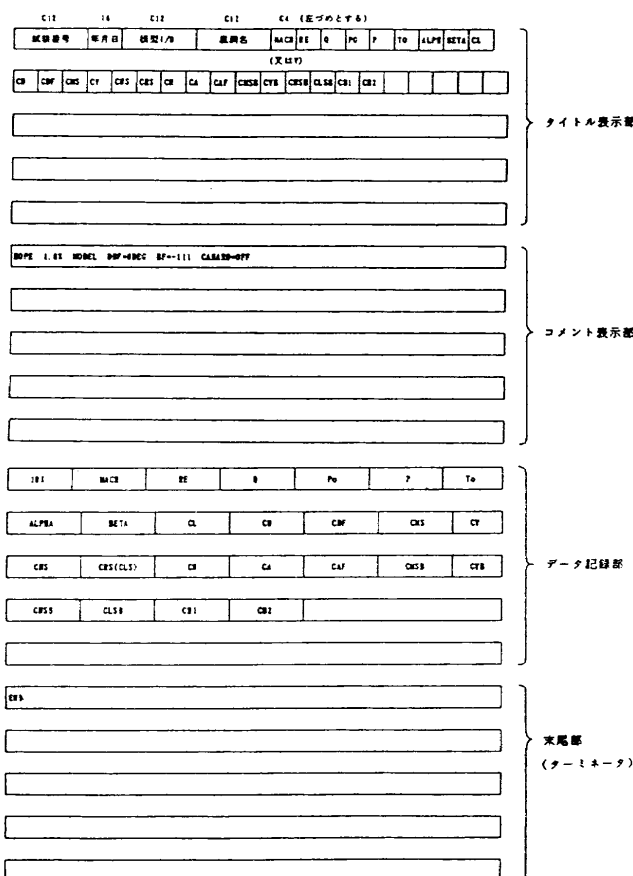


図8 HOPE風洞試験データ収録内容

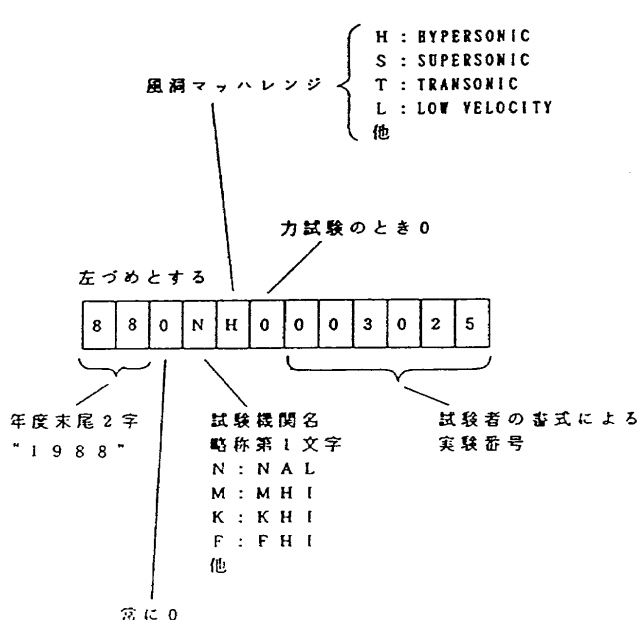


図9 試験番号の指定のしかた

6. HOPE風洞データベースの利用方法³⁾ および諸例

6.1 メニュー選択方式による利用の方法

HOPE風洞試験データベースの利用を希望する場合は図10に示す様式の利用申請書に必要事項を記入し、当所センターの受付に提出する。申請データベースの責任者の許可の確認が得られた後に、本データベースの利用が可能となる。

6.1.1 データベース開設の方法

HOPEデータベースの開設方法は次の通りである。

- ①TSSセッション開設時に、領域パラメータを4MB確保するため、SIZE (4096)と入力して開設する。
- ②TSSがREADY状態になってから、本データベースの開設コマンドであるNALDBを入力する。
- ③コマンドが受け付けられると、図11に示す第1メニュー画面が表示される。本画面でこれから使用するアプリケーション名のデータベースの番号である8の数字をコマンド入力行にキーインし実行キーを押下すると、図12に示す第2メニュー画面が表示される。

6.2 検索方法と結果の表示

第2メニュー画面で、HOPE風洞データベースの検索結果を表形式表示にするか、図形表示にするか、選択する。

6.2.1 図形表示

図形表示を選択する場合、2の番号をコマンド入力行に

受付年月日	
所属	
ユーザID	氏名
申請風洞データベース名	
使用期間	平成 年 月 日 ~ 平成 年 月 日
使用端末名及び設置場所	
使用目的	
備考	
数理解析部記入欄	
1. 申請データベース責任者の確認 平成 年 月 日 印	
2. 处理年月日 平成 年 月 日	
3. 处理者	

図10 HOPE風洞試験データベースの利用申請書

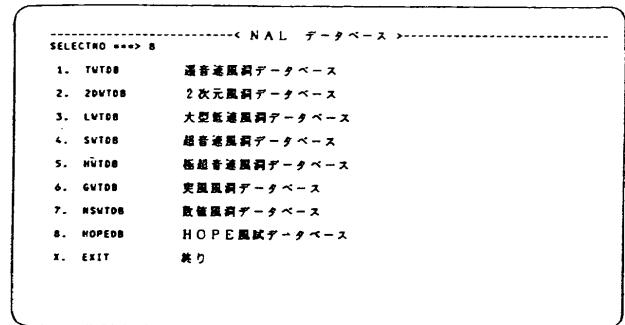


図11 第1メニュー画面

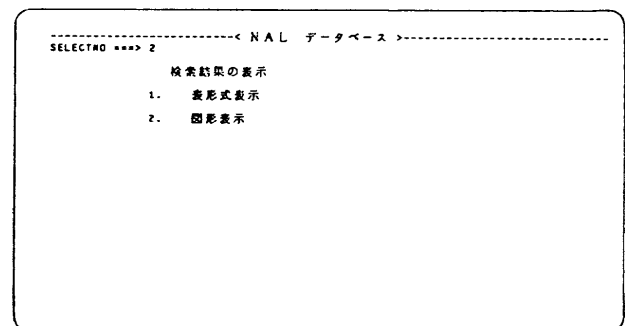


図12 第2メニュー画面

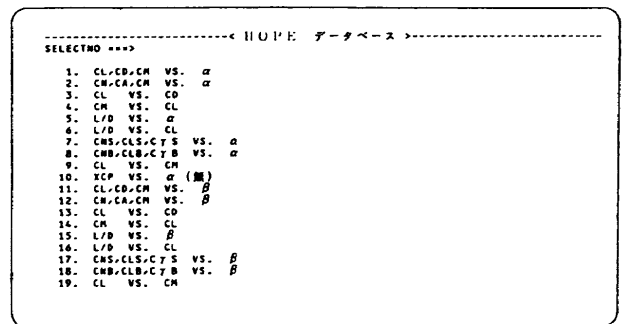


図13 第3メニュー画面

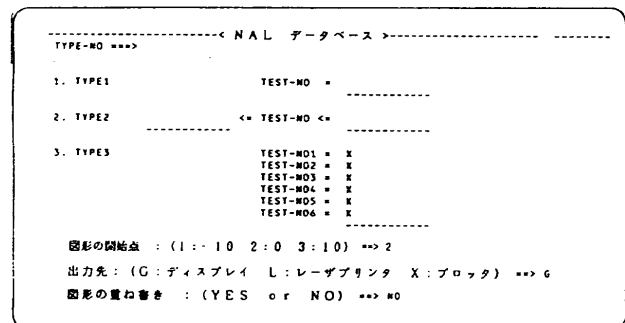


図14 第4メニュー画面

キーインし実行キーを押下すると、図13に示す第3メニュー画面が表示される。

第3メニュー画面において、HOPE風洞試験が α （迎角）スイープの場合は、番号1から9までを選択し、同様に β （横滑角）スイープの場合は、番号11から19までを選択する。選択番号をコマンド入力行にキーインし実行キーを押下すると、図14に示す第4メニュー画面が表示される。

第4メニュー画面では、図形表示させたいTEST (RUN)

番号、図形出力先および、図形の重ね書き等の選択を行う。

(1) TYPE-NOの行

TYPE 1 より TYPE 3 までの条件の番号を選択し、コマンド入力行にキーインする。

(2) TYPE 1 の行

TYPE 1 は検索図形出力が1個の場合であり、TEST-NOの所のコマンド入力行にTEST (RUN) 番号をキーインする。

(3) TYPE 2 の行

TYPE 2 は検索図形出力が連続したTEST (RUN) 番号に対して、複数個ある場合で、TEST (RUN) 番号のTEST-NOの所のコマンド入力行にTEST (RUN) 番号の上限値と下限値をキーインする。

この場合、個別に出力のできる個数は100個までである。

(4) TYPE 3 の行

TYPE 3 は検索図形出力が不連続のTEST (RUN) 番号に対して、複数個ある場合である。TEST (RUN) 番号のTEST-NO 1 から NO 6 コマンド入力行にそれぞれTEST (RUN) 番号をキーインする。

(5) 図形の開始点の行

HOPE風洞試験において、 α スイープの場合の図形表示の時、図形の横軸の最大値を選択することができる。

すなわち、図形の開始点1を選択した場合、図形の横軸は $\alpha - 15^\circ \sim 30^\circ$ となり、2, 3を選択した場合はそれぞれ $-5^\circ \sim 40^\circ$ 、 $5^\circ \sim 50^\circ$ の範囲でスライドする。

したがって、この行は図形出力の横軸が α スイープ表示の場合のみ表示される。

(6) 出力先の行

検索結果の図形出力先を指示する。記号をコマンド入力行にキーインする。

(7) 図形の重ね書きの行

図形出力が複数個ある場合に、それらを重ね書きさせるかどうかを指示する。YESまたは、NOをコマンド入力行にキーインする。

第4メニュー画面の設定がすべて完了したならば、実行キーを押下する。

本画面の処理が終了すると、指定検索条件を満たした図形表示の検索結果が図形出力装置に出力される。(6)の出力先の行でGを選択して、ディスプレイに表示させた場合に実行キーを押下すると、再び第4メニュー画面が表示されるので、指定値を変更して何回でも同じ処理が繰り返し行える。但し、複数個の図形出力がある場合、実行キーを押下すると、次の順番の図形が出力される。これらの出力がすべて終了した後に、第4メニュー画面が表示される。なお、本画面の処理の途中で第4メニュー画面に戻らない時は、PA 2 キーを押下すれば、1つ前のメニュー画面にもどる。

6.2.2 表形式表示

```
-----< NAL データベース >----- 行 000001 ■ 001 080
SCROLL ==> HALF
COMMAND ==>
SELECT   TABLE NAME
CODE
ABSTRACT
TESTPARM
S SCANDATA
*** 終り ***
```

図15 第5メニュー画面

```
-----< NAL データベース >----- 行 000001 ■ 001 080
SCROLL ==> HALF
>>> SELECT COLUMN DB-COMMAND
--NO--NAME--OPERANDS--TESTNO=880HNO002391
1 TIME
2 SCANDATA
3 TIME
4 RE
5 ALPHA
6 BETA
7 PHI
8 T
9 PS
10 G
11 P
12 SCP
13 CA
14 CT
15 CH
16 TCL
17 VCH
18 CAF
19 CAF
20 CAB
21 CAS
22 CYC
23 CLS
24 VCLS
25 VCMS
26 VCB5
27 CFS5
28 CDB5
*** 終り ***
```

図16 第6メニュー画面 (1)

```
-----< NAL データベース >----- 行 000001 ■ 001 080
SCROLL ==> HALF
>>> SELECT COLUMN DB-COMMAND
--NO--NAME--OPERANDS--VCH
1 CAF
2 CAB
3 CAS
4 CYC
5 CLS
6 VCLS
7 VCMS
8 VCB5
9 CFS5
10 CDB5
*** 終り ***
```

図16 第6メニュー画面 (2)

第2メニュー画面において、コマンド入力行に1の番号をコマンド入力行にキーインして実行キーを押下すると、図15に示す第5メニュー画面が表示される。この画面において、検索したいテーブル名であるSCANDATAの左欄(SELECT CODE)にSをキーインし実行キーを押下すると、SCANDATAに対応する図16に示す第6メニュー(1)画面が表示される。また、PF 8 キーを押下することによって、画面は下にスクロールし、第6メニュー(2)画面が表示される。PF 7 キーを押下すれば、画面を上方向に移動させることができる。

第6メニュー(1)および(2)画面において、検索したカラム名に対して、SELECT NOの欄に、数字を表示したい順番にしたがって、キーインする。

画面の設定が終了したならば、PF 4 キーを押下する。

本画面の処理が終了すると、指定検索条件を満たした、表形式検索結果がディスプレイに表示される。必要に応じ、PF10キーで左にまた、PF11キーを押下することによって、

AIM/RDB SELECT TESTNO,VCL,CM,CA,VCN FROM SCANDATA WHERE (TESTNO='880 93.03.29 SCROLL=> PAGE 1-19/21				
TESTNO	VCL	CM	CA	VCN
BB0NH0002574	+5.09999E-04	+6.025199E-01	+5.889000E-02	+1.899999E-04
BB0NH0002591	+6.29999E-04	+5.285000E-02	+1.079500E-01	-9.999999E-06
BB0NH0002591	+4.859997E-04	+5.285000E-02	+1.079500E-01	-7.299999E-05
BB0NH0002591	+5.099999E-04	+1.343400E-01	+1.041000E-01	-1.199999E-04
BB0NH0002591	+5.699999E-04	+1.795399E-01	+9.913998E-02	-4.999998E-05
BB0NH0002591	+5.799999E-04	+2.299499E-01	+9.255999E-02	+1.999999E-04
BB0NH0002591	+6.199998E-04	+2.850499E-01	+8.404001E-02	+1.999999E-05
BB0NH0002591	+6.299998E-04	+3.437700E-01	+8.052998E-02	-1.999999E-05
BB0NH0002591	+6.459998E-04	+4.025700E-01	+7.719499E-02	-1.999999E-05
BB0NH0002591	+6.199999E-04	+4.674999E-01	+7.116997E-02	-7.299999E-05
BB0NH0002591	+6.199999E-04	+5.373499E-01	+6.958001E-02	+4.999999E-04
BB0NH0002591	+5.399999E-04	+5.984200E-01	+6.314998E-02	+2.499998E-05
BB0NH0002591	+5.799999E-04	+6.850300E-01	+5.886000E-02	+1.599999E-05
BB0NH0002591	+5.399997E-04	+7.569299E-01	+5.361000E-02	+2.399999E-04
BB0NH0002591	+5.399998E-04	+8.338500E-01	+4.915999E-02	+2.199999E-04
BB0NH0002591	+5.399998E-04	+9.105999E-01	+4.416399E-02	+1.999999E-04
BB0NH0002591	+5.399998E-04	+9.874999E-01	+3.959999E-02	+2.299999E-04
BB0NH0002591	+6.199999E-04	+1.047400E+00	+3.171999E-02	+3.299999E-04
BB0NH0002591	+6.199999E-04	+1.140199E+00	+3.006000E-02	+4.299999E-04

図17 表形式検索の一例 (A)

AIM/RDB SELECT TESTNO,VCL,CM,CA,VCN FROM SCANDATA WHERE (TESTNO='880 93.03.29 SCROLL=> PAGE 20-21/21				
TESTNO	VCL	CM	CA	VCN
BB0NH0002591	+5.499999E-04	+1.216199E+00	+2.509000E-02	+5.299998E-04
BB0NH0002591	+4.599997E-04	+1.288599E+00	+1.973000E-02	+6.099999E-04

図17 表形式検索の一例 (B)

右に画面はスクロールする。表形式検索結果を日本語ライプリンタ（NLP）に出力したい場合には、コマンド入力行にPRINT SYSOUT (0)とキーインする。検索が終了し、第6メニュー（1）画面を表示されたい場合には、PF 3キーを押下する。

この操作により、検索条件をかえて、繰り返し異なった検索を行うことができる。ディスプレイに表示された表形式検索結果の一例を図17に示す。

6.2.3 検索条件設定の方法

表形式検索において、検索条件に使える演算子の種類は下記のとおりである。

(1) 条件に使える比較演算子の種類

= : 等しい

>= : 以上

<= : 以下

-= : 等しくない

> : より大きい

< : より小さい

(2) 条件に使える論理演算子の種類

AND (または&) : かつ

OR (また|) : 又は

(3) AND/OR条件の別表現

A BETWEEN 20 AND 25

<=> A>=20 AND A<=25

A IN (20, 25) <=> A>=20

OR A=25

条件値とする数字は、表2で定められたカラムの形式がC

タイプの数字は' 'で括り、I、EおよびFタイプの数字は' 'で括らない。

論理演算子を使う場合には、全体を()で括る。

6.2.4 データベース閉設の方法

図形表示又は表形式表示の作業が終了し、データベースを閉設したい場合は、PF 3キーを押下することによって、第4メニュー又は第6メニュー（1）画面より順次、前画面にもどり、第1メニュー画面を表示させる。

第1メニュー画面において、コマンド入力行にXを入力し、実行キーを押下するとTSSがREADY状態にもどる。

6.3 データベース利用諸例

6.3.1. 3形状の各空力係数の比較表示

62A、62B、62C形状の基本形態での極超音速6分力試験結果の内で縦の空力特性である揚力係数(CL)、抵抗係数(CD)及び縦揺モーメント係数(CM)を迎角に対して比較プロットしたものが図18である。TEST NO.880NH0002574が62A、TEST NO.880NH0002591が62Bまた、TEST NO.880NH0002614が62C形状の試験結果である。風試条件の詳細は、TEST NO.をもとに付表から参照する。

(以下同様)

6.3.2 速度の変化による空力係数の比較表示

62A形状の基本形態で低速の60m/s (TEST NO.880ML0000994) およびM = 7.1 (TEST NO.880NH0002574) における6分力試験結果の内で前図と同様にCL、CD及びCMを迎角に対して比較プロットしたもののが図19. 1である。

同様にして、62B形状及び62C形状の基本形態における各係数をプロットしたものが図19. 2及び図19. 3である。図19. 2において速度は50m/s以下の低速 (TEST NO.880KL0000001及び7)、M=0.2 (TEST NO.880KT0000014)、1.2 (TEST NO.880KT0000008)、3.5 (TEST NO.880NS0012829) 及び7.1 (TEST NO.880 NH 0002591) の各速度である。また、図19. 3における速度はM=0.2 (TEST NO.880FS0000116)、1.1 (TEST NO.880 FS0000139)、2.0 (TEST NO.880FS0000388)、4.0 (TEST NO.880 FS0000576) 及び7.1 (TEST NO.880NH0002614) である。

以上はマッハ数によるHOPE本体の空力特性の変化を見た例である。

62A形状HOPEとH-IIロケット組合せの風洞試験の風洞試験結果を迎角に対してプロットしたものが図20. 1、図20. 2及び図20. 3である。

図20. 1は組合せ形態1による試験結果の内で揚力係数、抵抗係数及び縦揺モーメント係数をM数ごとに迎角にたいしてプロットしたもので、M = 0.8 (TEST NO.880NT0200502)、1.0 (TEST NO.880NT0200373)、1.3 (TEST NO.880NT0200428)、1.5 (TEST NO.880NS0012801)、

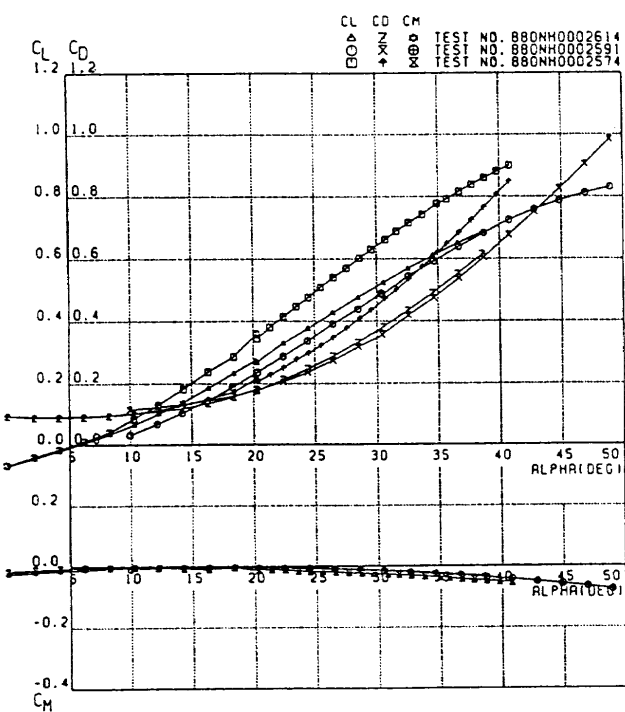


図18 62A、62B、62C、各基本形態 三分力比較
($M=7.1$ $\beta=0^\circ$)
($C_L, C_D, C_m \sim \alpha$)

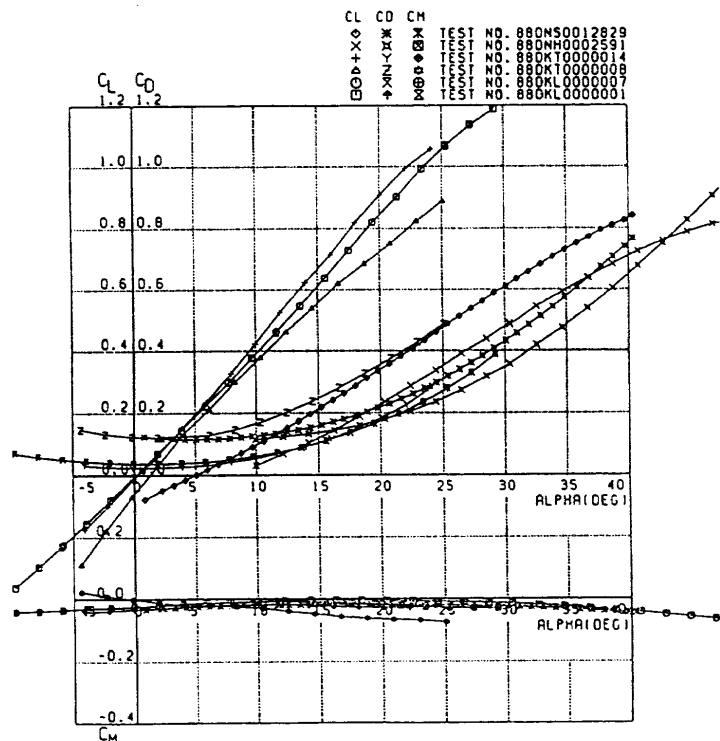


図19.2 62B基本形態 マッハ数効果
(低速及び、 $M=0.2, 1.2, 3.5, 7.1$ $\beta=0^\circ$)
($C_L, C_D, C_m \sim \alpha$)

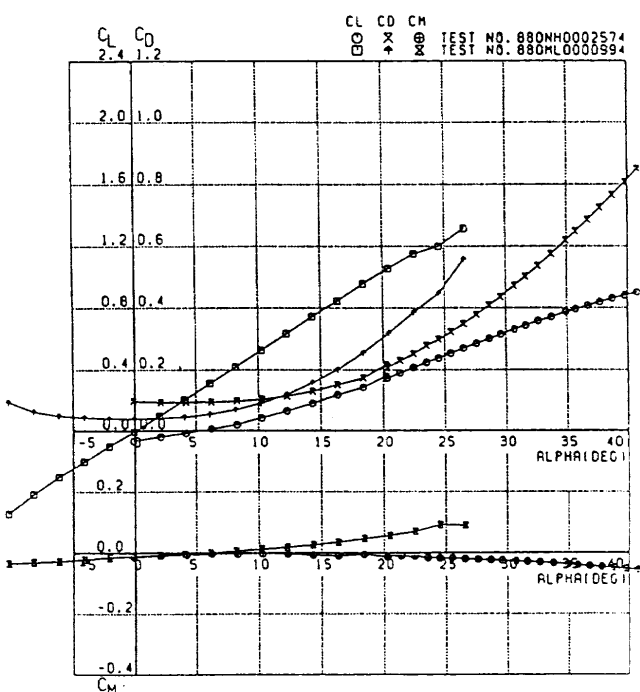


図19.1 62A基本形態 マッハ数効果
(低速及び、 $M=7.1$ $\beta=0^\circ$)
($C_L, C_D, C_m \sim \alpha$)

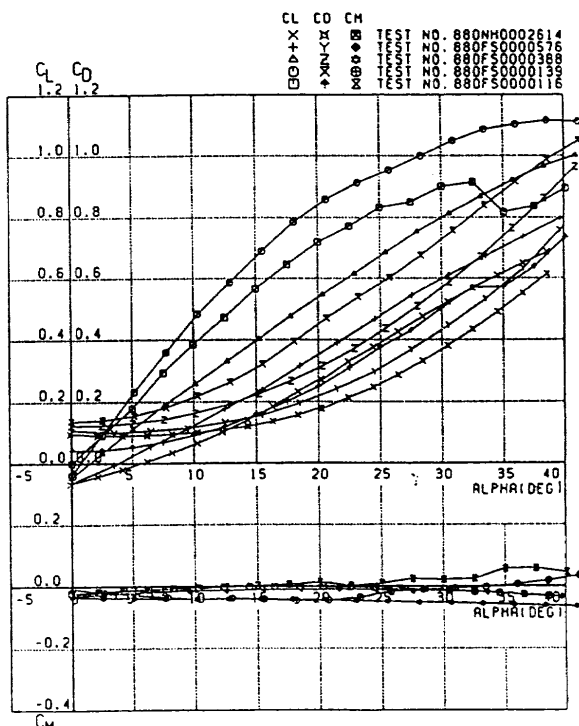


図19.3 62C基本形態 マッハ数効果
($M=0.2, 1.1, 2.0, 4.0, 7.1$ $\beta=0^\circ$)
($C_L, C_D, C_m \sim \alpha$)

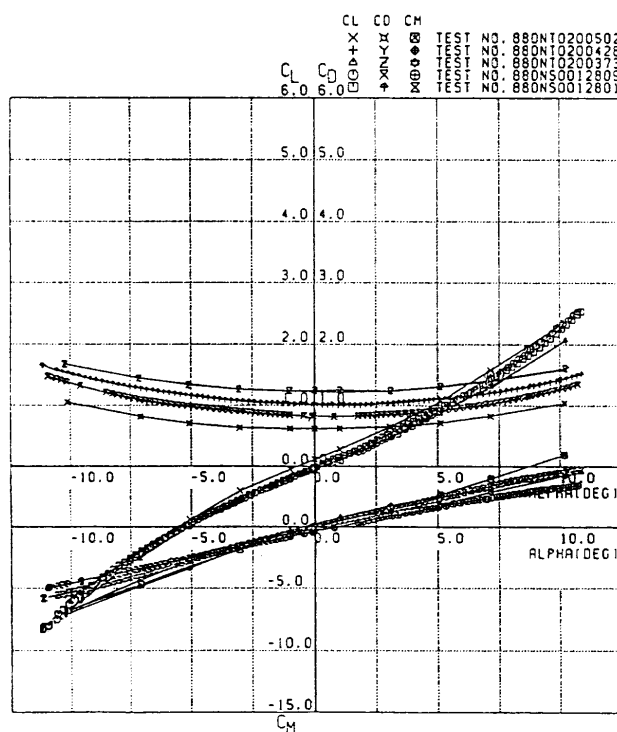


図20.1 62A形状HOPE+H-IIロケット組合わせ形態1
マッハ数効果 ($M=0.8, 1.0, 1.3, 1.5, 2.5 \beta=0^\circ$)
($C_L, C_D, C_m \sim \alpha$)

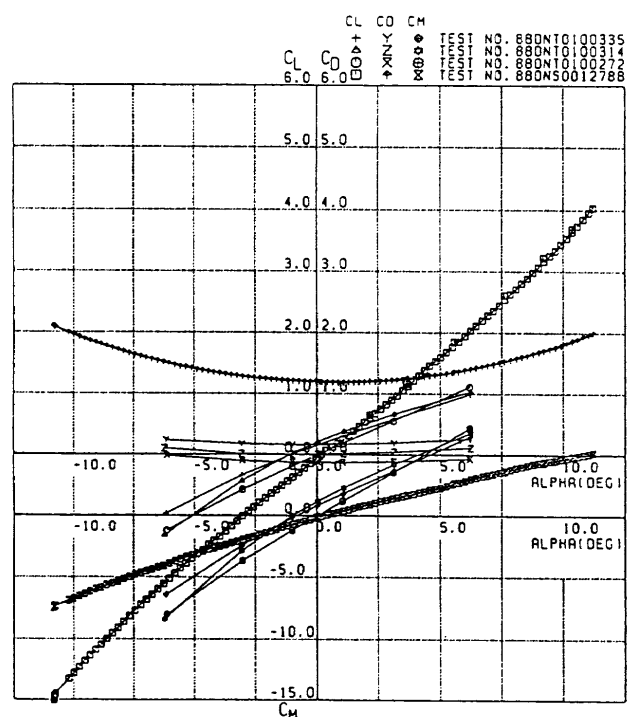


図20.3 62A-1形状HOPE+H-IIロケット組合わせ形態4
フィン付き マッハ数効果
($M=0.8, 1.1, 1.3, 1.8 \beta=0^\circ$)
($C_L, C_D, C_m \sim \alpha$)

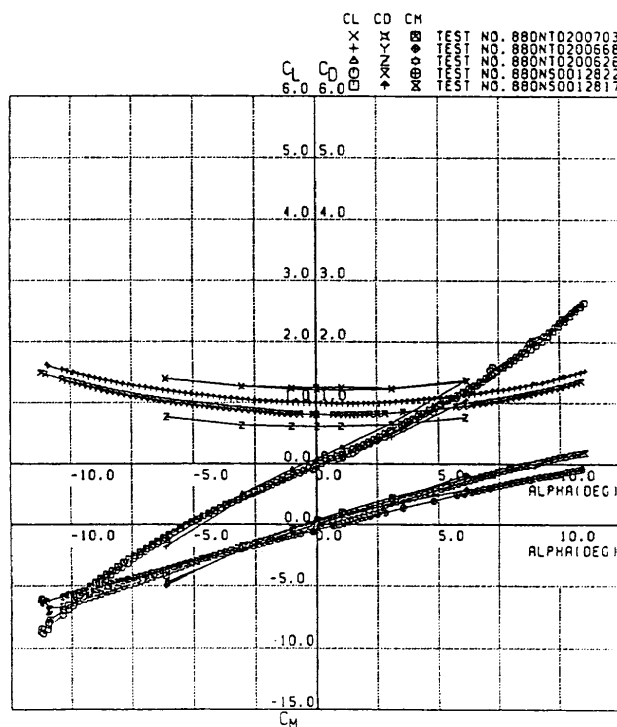


図20.2 62A形状HOPE+H-IIロケット組合わせ形態2
相乗りペイロード付き マッハ数効果
($M=0.8, 1.1, 1.3, 1.8, 2.5 \beta=0^\circ$)
($C_L, C_D, C_m \sim \alpha$)

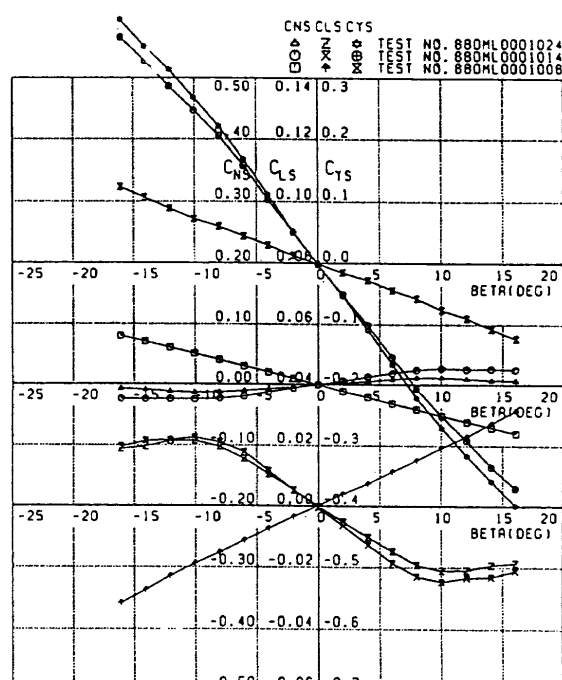


図21.1 62A形状 尾翼効果
(尾翼無、単垂翼、双垂翼 低速 $\alpha=0^\circ$)
($C_{nd}, C_s, C_{ys} \sim \beta$)

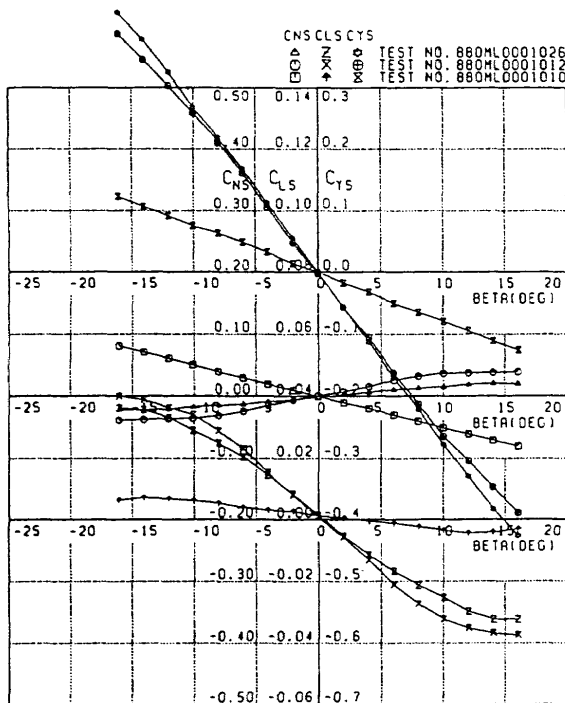


図21.2 62A形状 尾翼効果
(尾翼無、単垂翼、双尾翼 低速 $\alpha=10^\circ$)
($C_{ns}, C_{ls}, C_{ys} \sim \beta$)

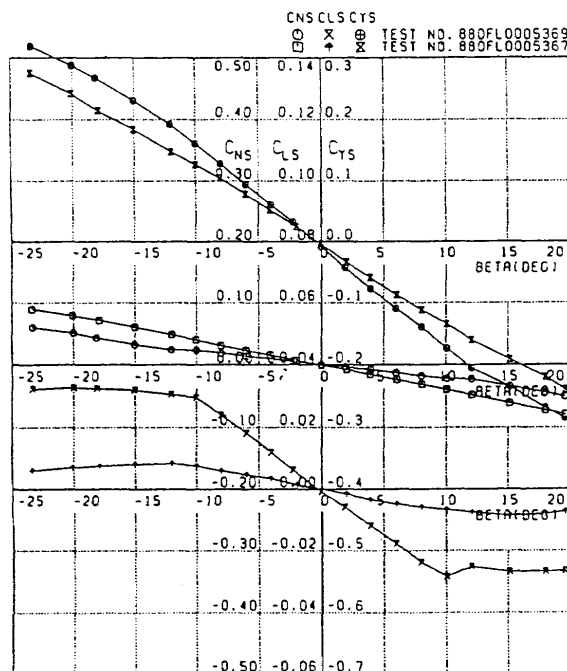


図22.1 62C形状 チップイン効果
(チップイン有、無 低速 $\alpha=10^\circ$)
($C_{ns}, C_{ls}, C_{ys} \sim \beta$)

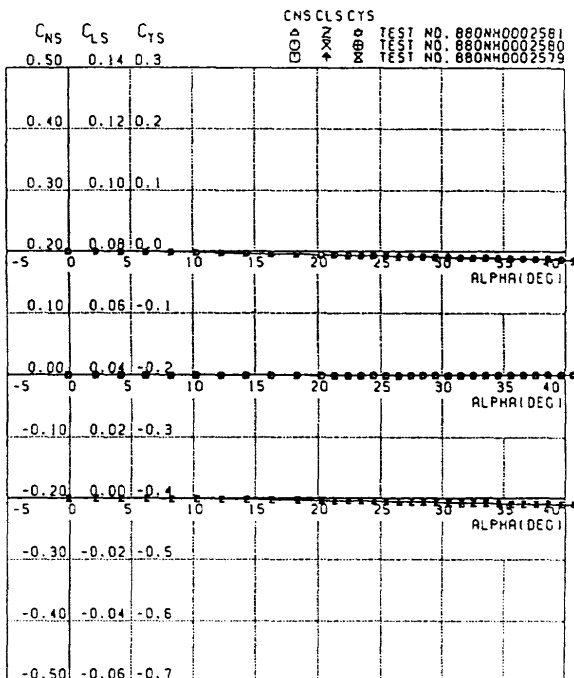


図21.3 62A形状 尾翼効果
(尾翼無、単垂翼、双尾翼 $M=7.1$ $\beta=0^\circ$)
($C_{ns}, C_{ls}, C_{ys} \sim \alpha$)

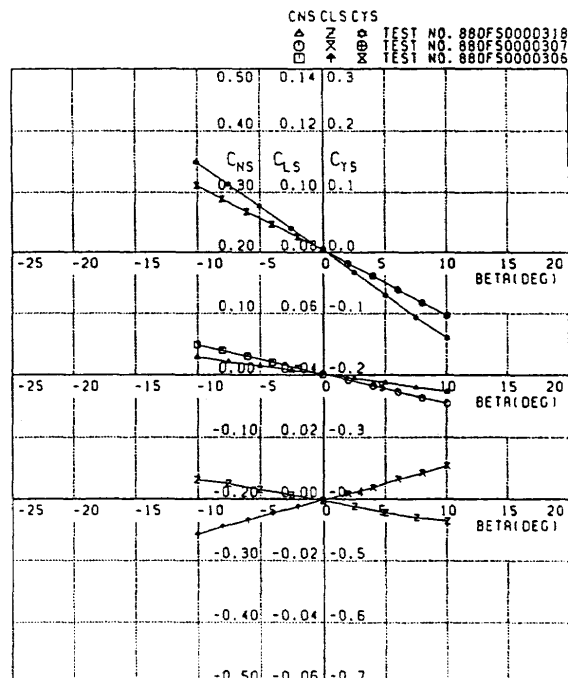


図22.2 62C形状 チップイン効果
(チップイン有、無 $M=0.5$ $\alpha=0^\circ$)
($C_{ns}, C_{ls}, C_{ys} \sim \beta$)

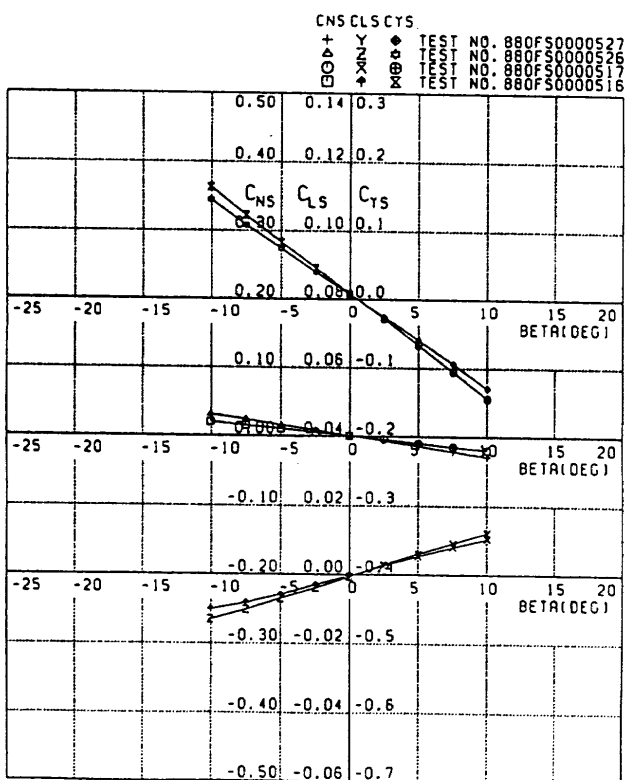


図22.3 62C形状 チップフィン効果
(チップフィン有、無 $M=3.0 \alpha=0^\circ$)
($C_{ns}, C_s, C_{ys} \sim \beta$)

及び2.5 (TEST NO.880NS0012809) である。図20. 2は相乗りペイロード付きの形態2の試験結果で、 $M=0.8$ (TEST NO.880NT0200626)、1.1 (TEST NO.880NT0200668)、1.3 (TEST NO.880NT0200703)、1.8 (TEST NO.880NS0012817)、及び2.5 (TEST NO.880NS0012822) である。図20. 3はフイン付きの形態4の結果で $M=0.8$ (TEST NO.880NT0100272)、1.1 (TEST NO.880NT0100314)、1.3 (TEST NO.880NT0100335)、1.8 (TEST NO.880NS0012788) である。

データベースの利用としては、これらの形態による変化を1枚の図に比較表示したり、ある係数について拡大表示して見ることも容易であり、有効であろう。

6.3.3 尾翼形態変更効果の比較表示

62A形状における尾翼形態変更効果を検討するために尾翼なし、単垂直尾翼、及び双垂直尾翼の試験結果を比較表示したものが図21. 1、図21. 2及び図21. 3である。図21. 1は迎角 0° で速度60m/sにおける6分力試験結果の内で偏擺れモーメント係数(CNS)、横擺れモーメント係数(CLS)及び横力係数(CYS)を横滑角に対してプロットしたものである。尾翼なし (TEST NO.880ML0001008)、单垂直尾翼 (TEST NO.880ML0001014)、双垂直尾翼 (TEST NO.880ML0001024) である。

図21. 2は同上試験条件のうち迎角のみを 10° に変えた場合の比較表示で、尾翼なし (TEST NO.880ML0001010)、

单垂直尾翼 (TEST NO.880ML0001012)、双垂直尾翼 (TEST NO.880ML0001026) である。図21. 3は横滑角 0° 、 $M=7.1$ の極超音速における試験結果の内で上記の各係数を迎角に対してプロットしたものである。尾翼なし (TEST NO.880NH0002579)、单垂直尾翼 (TEST NO.880NH0002581)、双垂直尾翼 (TEST NO.880NH0002580) である。

6.3.4 チップフィン効果の比較表示

62C形状におけるチップフィン効果を検討するために、チップフィン有り基本形態と無しの試験結果を比較表示する。図22. 1はチップフィンが有る基本形態 (TEST NO.880FL0005369) とチップフィン無し (TEST NO.880FL0005367) の低速における迎角 10° の場合の偏擺れモーメント係数、横擺れモーメント係数及び横力係数を横滑角に対してプロットしたものである。図22. 2はチップフィンが有る基本形態 (TEST NO.880FS0000318) とチップフィン無し形態 (TEST NO.880FS0000306, 307) の遷音速 $M=0.5$ 、迎角 0° における比較表示である。図22. 3も同様にチップフィンが有る基本形態 (TEST NO.880FS0000516, 517) とチップフィン無し (TEST NO.880FS0000526, 527) の超音速 $M=3.0$ 、迎角 0° における比較表示である。

7.まとめ

当所と宇宙開発事業団との共同研究「H-IIロケット打上げ型有翼宇宙往還機(HOPE)の研究」の一環として、昭和62年度から63年度にかけて空力特性の研究において、62A形状、62B形状、62C形状HOPEの3種類の形状模型及びロケット組合せ模型による風洞試験を実施した。

これらの風洞試験は、50m/sの低速領域(レイノルズ数効果を見るため15~40m/s)よりマッハ数7.1の極超音速領域まで当所の3基の風洞をはじめ、国内の民間企業3社の5基の風洞を用いて合計896RANの試験が実施された。

これらの風洞試験で得られた膨大な試験データは、有効な運用を図るために、当所が現在システム開発を進めている数値シミュレーションに含まれているデータベースシステムに、「HOPE風試データベース」として収納した。

本報告では、試験データのデータベースへの収納方法、及びその検索、表示方法を示した。これにより、形状、姿勢、マッハ数その他の重要パラメータが如何に特性に効くかが一目で分かることを例によって示した。このようなデータベース利用により、膨大な試験データがHOPEの空力設計に際し、有効な役立てられれば幸いである。

尚、本データベースの利用は、現在適正な保管の観点より、HOPE風試データベース責任者の許可のもとに、当所の職員のみに限られているが、今後は関係者が必要に応じて自由にアクセスできる様にすることが望ましい。

当データベースでのプロッタ出力等は、航技研のG.C.Pライブラリーを利用している。またプログラムならびにデータ登録では、富士通のシステムエンジニア藤田 信英、山崎 博幸、池田 栄治各氏の協力を受けた。

参考文献

- 1) 航空宇宙技術研究所、宇宙開発事業団「NAL/NASDA共同研究成果報告書：HOPEの研究」（その 1）空力特性の研究（62HOPE風洞試験）（第 1 分冊）、平成元年 3 月
- 2) 同上（第 2 分冊）
- 3) 各種風洞データベースの構築、近日刊行予定

付 表 リ ス ト

付表1 62A形状によるH O P E低速風洞試験項目

付表2 62B形状によるH O P E低速風洞試験項目

付表3 62C形状によるH O P E低速風洞試験項目

付表4 62B形状によるH O P E遷音速風洞試験項目

付表5 62C形状によるH O P E遷音速風洞試験項目

付表6 62B形状によるH O P E超音速風洞試験項目

付表7 H O P E／ロケット組合せによる遷音速風洞試験項目

付表8 H O P E／ロケット組合せによる超音速風洞試験項目

付表9 62A形状によるH O P E極超音速風洞試験項目

付表10 62B形状によるH O P E極超音速風洞試験項目

付表11 62C形状によるH O P E極超音速風洞試験項目

付表1 62A形状によるH O P E低速風洞試験項目

試験項目・形態		試験条件(deg.)								TEST No.		
項目	形態	α	β	δ_r	δ_e	δ_{BF}	δ_{SB}	δ_z	δ_{CANT}			
基本特性	基本形態	-10~26	0	0	0	0	0	0	20	880ML0000994		
			10							" 0996		
		0	-16~16	0	0	0	0	0	20	" 0998		
		5								" 1000		
		10								" 1002		
舵効き特性	エレボン	-10~26	0	0	-40	0	0	0	20	880ML0001109		
					-30					" 1108		
					-20					" 1101		
					-10					" 1198		
					10					" 1094		
					20					" 1105		
					30					" 1100		
					10		10			" 1107		
					0					" 1111		
					-10		0			" 1103		
					-20					" 1110		
					0		20			" 1104		
					10					" 1099		
				5	-20					" 1102		
					-10					" 1097		
					10					" 1096		
					20					" 1106		
舵効き特性	ラダー	-10~26	0	0	10	0	0	0	20	" 1089		
					20					" 1090		
					-10					" 1091		
					10					" 1092		
					0		30			" 1079		
					0					" 1082		
					10		60			" 1085		
					0					" 1080		
				5	10		90			" 1083		
					0					" 1088		
					10		60			" 1087		
					0					" 1063		
舵効き特性	スプリットラダースピードブレーキ	-10~26	0	0	30	0	0	0	0	" 1065		
					60					" 1067		
					90					" 1069		
					30					" 1132		
					60					" 1131		
					90					" 1129		
					20					" 1125		
					40					" 1126		
					60					" 1130		
					-30					" 1128		
尾翼特性	単垂尾	尾翼形態変更	-10~26	0	0	0	0	0	—	880ML0001016		
				10	0					" 1018		

試験項目・形態		試験条件 (deg.)							TEST No.
項目	形態	α	β	δ_r	δ_e	δ_{BF}	δ_{SB}	δ_s	δ_{CANT}
尾翼特性	単垂尾	0	-16~16	0	0	0	0	-	880ML0001014 タ 1012 タ 1020 タ 1022 タ 1024 タ 1026 タ 1004 タ 1006 タ 1008 タ 1010
		10							
	双垂尾	0	0						
		-10~26	10						
		0	-16~16						
		10							
	尾翼なし	0	0						
		-10~26	10						
		0	-16~16						
		10							
ストレーク特性	ストレークなし形態	0	-10~26	0	0	0	0	20	880ML0001052 タ 1054 タ 1050 タ 1048
		10							
		0	-16~16						
		10							
チャフайн効果	チップフインキャント角	0	-10~26	0	0	0	0	0	880ML0001028 タ 1040 タ 1042 タ 1030 タ 1035
		10							
		0	-16~16						
		10							
		0	-10~26	0	0	0	0	0	880ML0001039 タ 1038 タ 1036 タ 1032 タ 1034
		10							
		0	-16~16						
		10							
地面効果	基本形態	-10~26	0	0	-10	-10	0	20	880ML0001135 タ 1134 タ 1136 タ 1140 タ 1141 タ 1139
		0							
		10							
		-10							
		0							
		10							
脚下げ特性	ボディフラップ地面なし	-10~26	0	0	0	0	0	20	880ML0001056 タ 1057 タ 1059 タ 1061
		0							
		10							
		-16~16							
ストレーク特性	单垂尾	-10~26	0	0	0	0	0	-	880ML0001071 タ 1073 タ 1075 タ 1077
		0							
		10							
		-16~16							
舵効き特性	単垂尾エンボン	-10~26	0	0	-10	0	0	-	880ML0001116 タ 1117 タ 1119 タ 1115 タ 1118
		0							
		10							
		-10							
		0							
		10							

付表2 62B形状によるHOP E低速風洞試験項目

試験項目・形態		試験条件(deg.)									TEST No.	
項目	形態	α	β	δ_r	δ_e^n	$\delta_e^{\alpha\alpha}$	δ_{BF}	δ_{RSB}	δ_{BSB}	θ_{TIP}		
揚力 効果	基本形態	-10~30	0	0	0	0	0	0	0	0	880KL0000005 〃 0006	
基本特性	基本形態	-10~30	0	0	0	0	0	0	0	0	880KL0000007 〃 0001 〃 0008 〃 0009 〃 0002 〃 0010 〃 0011 〃 0003 〃 0012 〃 0013 〃 0004	
			5									
			10									
			15									
			20									
			0									
		-4~20	10	0	0	0	0	0	0	0	880KL0000117 〃 0084 〃 0014 〃 0017 〃 0018 〃 0019 〃 0020 〃 0118	
			0									
			10									
			0									
			10									
			0									
			10									
舵効き 特性	エレボン	-10~30	0	0	0	0	0	0	0	0	880KL0000117 〃 0084 〃 0014 〃 0017 〃 0018 〃 0019 〃 0020 〃 0118 〃 0085 〃 0021 〃 0022 〃 0023 〃 0024 〃 0025 〃 0026 〃 0027 〃 0028 〃 0029 〃 0030 〃 0031 〃 0163 〃 0048 〃 0035 〃 0036 〃 0037 〃 0038 〃 0164 〃 0049 〃 0039 〃 0040 〃 0041	
			10									
			0									
			10									
			0									
			10									
			0									
		-20~20	0	0	0	0	0	0	0	0		
			10									
			0									
			10									
			0									
			10									
			0									
ラダー		-10~30	0	0	0	0	0	0	0	0	880KL000044 〃 0050 〃 0045	
			10									
			0									
		-10~30	0	0	左右10	0	0	0	0	0		

試験項目・形態		試験条件 (deg.)									TEST No.
項目	形態	α	β	δ_r	δ_e^{in}	$\delta_e^{\alpha x}$	δ_{BF}	δ_{RSB}	δ_{RSB}	θ_{TP}	
舵効き特性	ラダー	-10~30	10	左右10	0	0	0	0	0	0	880KL0000046
		0	-20~20								〃 0165
		10									〃 0166
		-10~30	0	左右20	0	0	0	0	0	0	〃 0051
		10									〃 0052
		0	-20~20								〃 0167
	ラダー & エレボン	10		左右30	0	0	0	0	0	0	〃 0168
		0									〃 0053
	ラダー	10									〃 0054
		-10~30	0	左右20	0	0	0	0	0	0	〃 0055
		10									〃 0056
ボディフラップ	ボディ フラップ	-10~30	0	左20	0	0	0	0	0	0	〃 0057
		10									〃 0082
		10	-4~20	左-20	0	0	0	0	0	0	〃 0083
		0									〃 0064
		10									〃 0065
		0									〃 0066
	スピード ブレーキ	-10~30	0	-20	0	0	0	0	0	0	〃 0067
		10	-4~20								〃 0062
		0		-15	0	0	0	0	0	0	〃 0063
		10									〃 0061
脚下げる特性	エレボン	-10~30	0	-5	0	0	0	0	0	0	〃 0058
		10	-4~20								〃 0059
		0		15	0	0	0	0	0	0	〃 0060
		10									〃 0068
		0		30	0	0	0	0	0	0	〃 0069
		10	-4~20								〃 0070
		0		10	0	0	0	0	0	0	〃 0071
		10									〃 0072
		0		50	0	0	0	0	0	0	〃 0073
		10	-4~20								〃 0080
ラダーとの併用	ラダーとの併用	-10~30	0	左右10	0	0	0	0	0	0	〃 0081
		10	-4~20								〃 0074
		0		左右40	0	0	0	0	0	0	〃 0075
		10									〃 0076
		0		左右10	0	0	0	0	0	0	〃 0077
		10									〃 0078
		0		左右20	0	0	0	0	0	0	〃 0079
		10									〃 0086
脚下げる特性	脚下げる特性	-10~30	0	0	0	0	0	0	0	0	880KL0000086
		10	-4~20								〃 0087
		-10~30	0	左右10	0	0	0	0	0	0	〃 0088
		0									〃 0089
		-10~30	0	左右20	0	0	0	0	0	0	〃 0090
		0									〃 0091
		-10~30	0	左右30	0	0	0	0	0	0	〃 0092
		0									〃 0093
		-10~30	0	左右20	0	0	0	0	0	0	〃 0094
		0									〃 0095

試験項目・形態		試験条件 (deg.)									TEST No.	
項目	形態	α	β	δ_r	δ_e^{in}	δ_e^{α}	δ_{BF}	δ_{RSB}	δ_{BSB}	δ_{TP}		
脚下げ 舵効き 特性	エレボン	脚下げ 形態	-10~30	10	0	左右20	左右20	0	0	0	0	880KL0000095
	ボディフラップ			0				15				〃 0096
	ラダー			左右10		0	0	0				〃 0097
翼端 フィン 特性	フィンなし	フィン 纏 変更	-10~30	0	0	0	0	0	0	—	880KL0000098	
				10							〃 0100	
			0	-4~20							〃 0112	
			10								〃 0099	
				0							〃 0101	
	キャント角		-10~30	10	0	0	0	0	0	30	〃 0102	
				20							〃 0103	
			0	-4~20							〃 0104	
			10								〃 0105	
	キャント角&ラダー		-10~30	0							〃 0106	
地面効果 逆支持	エレボン	基本 形態		左右10	0	0	0	0	0	左なし	〃 0107	
	左フィンなし			左右20							〃 0108	
	片フィン			左右30							〃 0109	
	$\theta TIP=0$										〃 0115	
			-20~20	0							〃 0114	
				10	0	0	0	0	0	左なし	〃 0113	
	基本		-10~30	0							880KL0000119	
	WL=-500			10							〃 0120	
			10	-4~20							〃 0121	
	エレボン										〃 0142	
	WL=-500			0	0	0	0	0	0	0	〃 0122	
				10							〃 0123	
											〃 0124	
				0							〃 0125	
				0							〃 0126	
	ボディ	基 本 形 態	-10~30	左右30							〃 0127	
	フラップ			0							〃 0129	
	WL=-500			0							〃 0141	
	ラダー			10							〃 0130	
	WL=-500										〃 0131	
	スピードブレーキ		0	左右10							〃 0132	
	WL=-500			0							〃 0133	
	脚下げ基本			左右20							〃 0134	
	WL=-500			0							〃 0135	
				10							〃 0136	
地面効果 逆支持	脚下げエレボン		-10~30	0	0	0	0	0	0	0	〃 0137	
	WL=-500			10							〃 0138	
											〃 0139	
				0							〃 0140	
				0							〃 0143	
	基本		-10~25	0							〃 0144	
	WL=-300			0								
	エレボン		-10~22	0								
	WL=-300			左30								

試験項目・形態		試験条件 (deg.)								TEST No.	
項目	形態	α	β	δ_r	δ_e^{ax}	δ_e^{az}	δ_{BF}	δ_{RSB}	δ_{ESB}	δ_{TP}	
地面効果 逆支持	エレボン WL=-300	-10~22	0	0	左右30	0	0	0	0	0	880KL0000145
	ラダー WL=-300	-10~25		左右30	左右-30						〃 0146
	ボディフラップ WL=-300	-10~22		0	0						〃 0147
ストラット 干渉効果	ダミースト ラット支持	-3~17	0	0	0	0	0	0	0	0	880KL0000158
		10	10								〃 0159
		0	-20~20								〃 0160
		10	0								〃 0161
		-10~30	10								〃 0149
	逆支持 + ダミースト ラット	0	-20~20	0	0	0	0	0	0	0	〃 0150
		10	0								〃 0151
		-3~17	10								〃 0152
		0	-20~20								〃 0153
		10	0								〃 0154
											〃 0155
											〃 0156

付表3 62C形状によるH O P E低速風洞試験項目

試験項目・形態		試験条件(deg.)								TEST No.
項目	形態	α	β	δ_a	δ_e	δ_r	δ_c	δ_s / δ_{BS}	δ_{BF}	
レイノルズ 数効果	基 本 形 態	-10~33	0	0	0	0	0	0	-	880FL0005283
		10	-20~20							" 5398
		-10~33	0							" 5295
基 本 特 性	基 本 形 態	-10~33	-10	0					-	880FL0005297
		0			0	0	0	0	-	" 5368
		10	-20~20							" 5370
		20								" 5399
										" 5400
舵効き 特性	エルロン	-10~33	0	10	0					880FL0005303
				20						" 5304
				30						" 5305
				40						" 5306
				-10						" 5307
		-10	-10	10						" 5309
				20						" 5310
				30						" 5311
				40						" 5312
				-10						" 5308
	エレベータ	10	-20~20	10	0					" 5376
				30						" 5377
				内舷30						" 5363
				外舷30						" 5364
				-10					-	" 5293
		-10	0	-20						" 5294
				-30						" 5298
				-40						" 5299
				10						" 5300
				20						880FL0005301
	ラ ダ ー	-10~33	0	30	0					" 5302
				-10						" 5313
				-20						" 5314
				-30						" 5315
				-40						" 5316
		-10	-10	10						" 5317
				20						" 5318
				30						" 5319
				10	0					" 5330
				20						" 5331
		0	-10	30						" 5332
				-20						" 5333
				10						" 5327
				20						" 5328
				30						" 5329

試験項目・形態		試験条件 (deg.)							TEST No.	
項目	形態	α	β	δ_a	δ_e	δ_r	δ_c	δ_s / δ_{BS}	δ_{BF}	
舵効き特性	ラダー	-10~33	-10	0	0	-20	0	0	-	880FL000 5326
		10	-20~20			10				" 5378
						20				" 5379
						30				" 5380
						-20				" 5381
	エレボンス ピードブレーキ	-10~33	0	0	0	20	0	0	-	" 5359
			-10			40				" 5360
			0			60				" 5361
			-10			80				" 5362
			0			20				" 5355
	カナード	-10~33	-10	0	0	40	0	0	-	" 5356
			0			60				" 5357
			-10			80				" 5358
			0			30				" 5396
			-10			10				" 5397
			0			20				" 5334
			-10			30				" 5335
			0			-10				" 5336
			-10			-20				" 5337
			0			-30				" 5338
チワワイン 効果	チワワイン なし 形態	-10~33	0	0	0	10	0	0	-	880FL000 5365
			-10			20				" 5366
			10			30				" 5367
			-20~20			-10				
カナード 効果	カナード なし 形態	-10~33	0	0	0	0	0	0	-	880FL000 5292
			-10			-10				" 5291
			10			-20				" 5374
ボディ フラップ 効果	ボディ フラップ付 カナード なし形態	-10~33	0	0	0	10	0	0	-	880FL000 5341
			-10			20				" 5342
			0			30				" 5343
			-10			-10				" 5344
			0			-20				" 5346
			-10			10				" 5349
			0			20				" 5351
			-10			30				" 5352
			0			-10				" 5353
			-10			-20				" 5354
			0			0				" 5340
			-10			0				" 5350

試験項目・形態		試験条件(deg.)								TEST No.	
項目	形態	α	β	δ_a	δ_e	δ_r	δ_c	δ_s / δ_{BS}	δ_{BF}		
脚効果	脚付き 形態	-10~33	0	0	0	0	0	0	-	880FL0005288	
			-10							〃 5289	
		10	-20~20		0	0	0	0	-	〃 5375	
		-10~27								〃 5401	
		-10~33			0	-30	0	0	-	〃 5403	
		-10~27			〃 5402						
支持干渉効果	後方 スティング	基本 形 態	-10~23	0	0	0	0	0	-	880FL0005432	
				-10						〃 5433	
胴上 スピード ブレーキ 効果	後方 スティング	基 本 形 態	-10~23	0	0	0	0	$\delta_{BS}20$	-	880FL0005434	
				-10						〃 5435	
				0				$\delta_{BS}40$		〃 5436	
				-10						〃 5437	
				0				$\delta_{BS}60$		〃 5438	
				-10						〃 5439	
				0						〃 5440	
圧力分布		基 本 形 態	-5 0 5 10 20 30	0	0	0	0	0	-	880FL0005382	
										〃 5383	
										〃 5384	
										〃 5385	
										〃 5386	
										〃 5387	
										〃 5395	
		10	-10 10 20 -20 0 20 -20	0	0	0	0	0	-	〃 5394	
			〃 5388								
			〃 5389								
			〃 5391								
			〃 5390								
			〃 5392								
			〃 5393								
流れの 可視化		基 本 形 態	-10~33	0 -10 0 -10 0 20 30	0	0	0	0	-	データベースなし	

基本形態はボディフラップなしとする。

付表4 62B形状によるH O P E遷音速風洞試験項目

試験項目・形態		マッハ数	試験条件 (deg.)								TEST No.	
項目	形態	M	α	β	δ_r	δ_e^{in}	δ_e^{out}	δ_{BF}	δ_{RSB}	δ_{BSB}	δ_{TP}	
レイルズ効果	基本形態	0.2	-4~24	0	0	0	0	0	0	0	0	880KT0000011 〃 0012
基本特性	基本形態	0.2	-4~24	0							880KT0000014 〃 0005 〃 0006 〃 0004 〃 0010 〃 0009 〃 0008 〃 0007 〃 0024 〃 0016 〃 0025 〃 206 〃 0017 〃 0018 〃 0019 〃 0020 〃 0021 〃 0022 〃 0027 〃 0026 〃 0028 〃 0029 〃 0030 〃 0031 〃 0032 〃 0033	
		0.4										
		0.8										
		0.9										
		1.0										
		1.1										
		1.2										
		1.4										
	基本形態	0.2	10	-4~14	0	0	0	0	0	0	0	
		0.4										
		0.6										
		0.7										
		0.8										
		0.9										
		1.0										
		1.1										
		1.2										
		1.4										
	舵効き特性	0.2	0~30	5		左10	0	0	0	0	0	
		0.4										
		0.8										
		1.0										
		1.4										
		0.4	0~30	5	右10	右10	0	0	0	0	0	
		0.8										
		1.0										
		1.4										
		0.4										
		0.8										
		1.0										
	エレボン	1.4	-4~24	0	右10	右5	0	0	0	0	0	
		0.4										
		0.8										
		1.0										
		1.4										
		0.4										
		0.8										

試験項目・形態		マップ数	試験条件 (deg.)								TEST No.	
項目	形態	M	α	β	δ_r	δ_e^{in}	δ_e^{out}	δ_{BF}	δ_{BSB}	δ_{BSB}	δ_{TP}	
舵効き 特性	エレボン	基 本 形 態	-4~24	0	0	右-5	0	0	0	0	0	880KT0000051
						右-10						〃 0050
						右10	右-5	右-10	右10	右10	右10	〃 0054
						0						〃 0055
						右-10	右-10	右-10	右-10	右-10	右-10	〃 0056
						右-10						〃 0057
						右-10	右-5	右-10	右-10	右-10	右-10	〃 0061
						右-10						〃 0060
						右-10	右-10	右-10	右-10	右-10	右-10	〃 0059
						右-10						〃 0058
						右-10	右-5	右-10	右-10	右-10	右-10	〃 0062
						右-10						〃 0063
						右-10	右-10	右-10	右-10	右-10	右-10	〃 0064
						右-10						〃 0065
						右-10	右-10	右-10	右-10	右-10	右-10	〃 0069
						右-10						〃 0068
						右-10	右-10	右-10	右-10	右-10	右-10	〃 0067
						右-10						〃 0066
						右-10	右-10	右-10	右-10	右-10	右-10	〃 0077
						右-10						〃 0076
						右-10	右-10	右-10	右-10	右-10	右-10	〃 0075
						右-10						〃 0074
						右-10	右-10	右-10	右-10	右-10	右-10	〃 0070
						右-10						〃 0071
						右-10	右-10	右-10	右-10	右-10	右-10	〃 0072
						右-10						〃 0073
						右-10	右-10	右-10	右-10	右-10	右-10	〃 0078
						右-10						〃 0079
						右-10	右-10	右-10	右-10	右-10	右-10	〃 0080
						右-10						〃 0081
						右-10	右-10	右-10	右-10	右-10	右-10	〃 0083
						右-10						〃 0084
						右-10	右-10	右-10	右-10	右-10	右-10	〃 0085
						右-10						〃 0086
						右-10	右-10	右-10	右-10	右-10	右-10	〃 0090
						右-10						〃 0089
						右-10	右-10	右-10	右-10	右-10	右-10	〃 0088
						右-10						〃 0087
						右-10	右-10	右-10	右-10	右-10	右-10	〃 0091
						右-10						〃 0092
						右-10	右-10	右-10	右-10	右-10	右-10	〃 0093
						右-10						〃 0094
						右-10	右-10	右-10	右-10	右-10	右-10	〃 0098
						右-10						〃 0097
						右-10	右-10	右-10	右-10	右-10	右-10	〃 0096
						右-10						〃 0095
						右-10	右-10	右-10	右-10	右-10	右-10	〃 0099
						右-10						〃 0100

H O P E 風洞試験データーベースについて（その1）

試験項目・形態		マッハ数	試験条件 (deg.)									TEST No.						
項目	形態	M	α	β	δ_r	$\delta_e^{\prime\prime}$	$\delta_e^{\prime\prime\prime}$	δ_{RF}	δ_{RSB}	δ_{RSS}	δ_{TP}							
舵効き特性	スピードブレーキ	基本形態	1.0	-4~24	0	0	0	0	0	50	0	880KT0000101						
			1.4						左10	0		〃 0102						
			0.4									〃 0107						
			0.8									〃 0108						
			1.0									〃 0109						
			1.4									〃 0110						
			0.4									〃 0106						
			0.8									〃 0105						
			1.0						左右10	0		〃 0104						
			1.4									〃 0103						
			0.4									〃 0114						
			0.8									〃 0113						
			1.0						左10	0		〃 0112						
			1.4									〃 0111						
			0.4									〃 0115						
			0.8									〃 0116						
			1.0									〃 0117						
			1.4									〃 0118						
チャフайн効果	チャフайн	チャフайн キャント角 形態変更	0.4	-4~24	0	0	0	0	0	30	880KT0000159	〃 0158						
			0.8									〃 0161						
			1.0									〃 0162						
			1.4									〃 0155						
			0.4	10	-4~14							〃 0154						
			0.6									〃 0153						
			0.8									〃 0157						
			1.0									〃 0156						
			1.4									〃 0174						
			0.4	0~30	5							〃 0170						
			0.8									〃 0169						
			1.0									〃 0168						
			1.4									〃 0165						
			0.4	-4~24	0	左10						〃 0164						
			0.8									〃 0166						
			1.0									〃 0167						
			1.4															
チャフайн効果	左チャフайнなし	チャフайн 形態変更	0.4	-4~24	0	0	0	0	0	左なし	880KT0000201	〃 0200						
			0.8									〃 0199						
			1.0									〃 0198						
			1.4									〃 0202						
			0.4	10	-4~14							〃 0203						
			0.8									〃 0204						
			1.0									〃 0205						
			1.4															
尾翼特性	尾翼なし	尾翼 形態変更	0.2	-4~24	0	0	0	0	0	—	880KT0000129	〃 0123						
			0.4									〃 0122						
			0.8															

試験項目・形態		マッハ数	試験条件 (deg.)								TEST No.	
項目	形態	M	α	β	δ_r	δ_e^{α}	$\delta_e^{\alpha\alpha}$	δ_{BF}	δ_{RSB}	δ_{BSB}	δ_{TP}	
尾翼特性	尾翼なし	0.9	-4~24	0							880KT0000130	
		1.0										〃 0121
		1.1										〃 0135
		1.2										〃 0134
		1.4										〃 0120
		0.2	10	-4~14		0	0	0	0	0	-	〃 0128
		0.4										〃 0124
		0.6										〃 0152
		0.8										〃 0125
		0.9										〃 0131
		1.0	0~30	5		0	0	0	0	0	-	〃 0126
		1.1										〃 0132
		1.2										〃 0133
		1.4										〃 0127
		0.2										〃 0146
		0.4	10	-4~14		0	0	0	0	0	-	〃 0147
		0.8										〃 0145
		0.9										〃 0144
		1.0										〃 0148
		1.1										〃 0149
翼平面形特性	小スパン	1.2	0~30	5		0	0	0	0	0	-	〃 0150
		1.4										〃 0151
		0.2	-4~24	0		0	0	0	0	0	-	880KT0000184
		0.4										〃 0182
		0.8										〃 0181
		0.9										〃 0185
		1.0										〃 0180
		1.4										〃 0179
		0.4	10	-4~14		0	0	0	0	0	0	0
		0.6										〃 0186
		0.8										〃 0187
		1.0										〃 0188
		1.4										〃 0189
		0.4	0~30	5		0	0	0	0	0	-	0
		0.8										0
		1.0										30
		1.4										0
		0.4	-4~24	0		0	0	0	0	0	-	0
流れの可視化	オノフロー	0.8										データベースなし
		0.6										データベースなし
		0.4										データベースなし
		0										データベースなし
		4										データベースなし

付表 5 62C 形状による H O P E 遷音速風洞試験項目

試験項目・形態		マッハ数	試験条件 (deg.)								TEST No.		
項目	形態	M	α	β	δ_e	δ_s	δ_r	δ_c	δ_{BF}	δ_{ESB}	δ_{BSE}		
基本特性	基本形態	0.2	0~40	0	0	0	0	0	-	0	0	880FS0000116	
		0.5										" 0117	
		0.8										" 0118	
		0.9										" 0119	
		0.95										" 0122	
		1.0										" 0123	
		1.1										" 0124	
		1.2										" 0126	
		1.4										" 0127	
		2.0										" 0128	
		3.0										" 0130	
基本特性	基本形態	3.0	0~40	0	0	0	0	0	-	0	0	880FS0000393	
		4.0											" 0576
		0.5											" 0577
		1.0											" 0578
		2.0											" 0579
		3.0											" 0580
		0.5											" 0581
		1.0											" 0271
基本特性	基本形態	2.0	0~40	-5	0	0	0	0	-	0	0	880FS0000393	
		3.0											" 0272
		0.5											" 0274
		1.0											" 0275
		2.0											" 0276
		3.0											" 0513
		0.5											" 0514
		1.0											" 0515
基本特性	基本形態	2.0	0~40	-5	0	0	0	0	-	0	0	880FS0000393	
		3.0											" 0468
		0.5											" 0469
		1.0											" 0470

試験項目・形態			マガハ数	試験条件 (deg.)									TEST No.
項目	形態	M		α	β	δ_e	δ_a	δ_r	δ_c	δ_{BF}	δ_{ESB}	δ_{BSB}	
基本特性	基本形態	4.0	0~40	-5	0	0	0	0	-	0	0	0	880FS0000700 〃 0701 〃 0318 〃 0320 〃 0321 〃 0516 〃 0517
		0.5											
		1.0											
		2.0											
		3.0											
舵効き特性	エレベータ	基本形態	0.5	0~40	0	15	0	0	-	0	0	0	880FS0000157 〃 0158 〃 0159 〃 0160 〃 0161 〃 0328
			1.0										
			2.0										
舵効き特性	エレベータ	基本形態	2.0	0~40	0	15	0	0	-	0	0	0	880FS0000329 〃 0330 〃 0397 〃 0398 〃 0399 〃 0163 〃 0164 〃 0165 〃 0166 〃 0167 〃 0325 〃 0326 〃 0327 〃 0400 〃 0401 〃 0402 〃 0168 〃 0169 〃 0173 〃 0175 〃 0176 〃 0334 〃 0335 〃 0336 〃 0403 〃 0404 〃 0405 〃 0180 〃 0181 〃 0177 〃 0178 〃 0179
			3.0										
			0.5										
			1.0										
			2.0										
			3.0										
			0.5										
			1.0										
			2.0										
			3.0										
			0.5										
			1.0										
			2.0										
			3.0										
			0.5										
			1.0										
舵効き特性	エレベータ	基本形態	2.0	0~40	0	15	0	0	-	0	0	0	880FS0000331 〃 0332

試験項目・形態		マッハ数	試験条件 (deg.)									TEST No.	
項目	形態	M	α	β	δ_e	δ_s	δ_r	δ_c	δ_{BF}	δ_{ESB}	δ_{ESB}		
舵効き特性	エレベータ	基本形態	2.0	0~40	0	-30	0	0	-	0	0	880FS0000333	
			3.0									〃 0406	
			0.5									〃 0407	
			1.0									〃 0408	
			2.0									〃 0182	
			3.0									〃 0183	
			0.5		-5	-40	0	0	-	0	0	〃 0184	
			3.0									〃 0185	
			0.5									〃 0186	
			3.0									〃 0337	
			0.5									〃 0338	
	エルロン		3.0									〃 0339	
			0.5									〃 0409	
			3.0									〃 0410	
			0.5									〃 0411	
			3.0									〃 0277	
舵効き特性	エルロン	基本形態	0.5	0~40	-5	-15	0	0	-	0	0	〃 0278	
			3.0									〃 0471	
			0.5									〃 0472	
			3.0									〃 0473	
			0.5									〃 0279	
			3.0									〃 0280	
			0.5									〃 0474	
			3.0									〃 0475	
			0.5									〃 0476	
			3.0									〃 0190	
	エルロン		0.5		-5	15	0	0	15	0	0	〃 0191	
			1.0									〃 0187	
			0.5									〃 0188	
			3.0									880FS0000189	
			1.0									〃 0340	
舵効き特性	エルロン	基本形態	2.0	0~40	0	15	0	0	-	0	0	〃 0341	
			3.0									〃 0342	
			0.5									〃 0412	
			1.0									〃 0413	
			2.0									〃 0192	
			3.0									〃 0193	
			0.5		-5	30	0	0	-	0	0	〃 0194	
			1.0									〃 0195	
			2.0									〃 0196	
			3.0									〃 0343	
			0.5									〃 0344	
			3.0									〃 0345	

試験項目・形態		マッハ数	試験条件 (deg.)									TEST No.	
項目	形態	M	α	β	δ_e	δ_s	δ_r	δ_c	δ_{BF}	δ_{ESP}	δ_{BSB}		
舵効き特性	エルロン	基本形態	3.0	0~40	-5	0	15	0	0	-	0	880FS0000478 〃 0479 〃 0281 〃 0282 〃 0480 〃 0481 〃 0482 〃 0314 〃 0518 〃 0519 〃 0315 〃 0520	
			0.5				-15						
			3.0				15						
			0.5	0	-10~10	0	30	0	0	-	0		
			3.0				0						
			0.5				15						
			3.0				0						
舵効き特性	エレポン スピード ブレーキ	基本形態	3.0	0	-10~10	0~40	30	0	0	-	0	880FS0000521 〃 0200 〃 0201 〃 0197 〃 0198 〃 0199 〃 0346 〃 0347 〃 0348 〃 0418 〃 0419 〃 0420 〃 0202 〃 0203 〃 0204 〃 0205 〃 0206 〃 0349 〃 0350 〃 0351 〃 0421 〃 0422 〃 0423 〃 0285 〃 0286 〃 0483 〃 0484 〃 0485 〃 0287 〃 0288 〃 0486	
			0.5	0									
			1.0	0									
			2.0	0									
			3.0	0									
			0.5	0									
			1.0	0									
			2.0	-5	-15	0	0	-	30				
			3.0		0								
			0.5		0								
			3.0		0								
舵効き特性	エレポンスピード ブレーキ	基本形態	0.5	0~40	-10~10	0	0	0	0	-	0		
			3.0				0						
			0.5				0						
			1.0				0						
			2.0				0						
舵効き特性	カナード	基本形態	3.0	0~40	-5	0	-15	0	0	-	30		
			0.5				0						
			1.0				0						
			3.0				0						
			0.5				0						

試験項目・形態		マッハ数	試験条件 (deg.)								TEST No.		
項目	形態		M	α	β	δ_e	δ_s	δ_r	δ_c	δ_{BF}	δ_{ESB}	δ_{BSB}	
舵効き特性	カーボン	基本形	0~40	0	0	0	0	-	0	0	0	880FS0000208	
												〃 0209	
												〃 0352	
												〃 0353	
												〃 0354	
												〃 0424	
												〃 0425	
												〃 0426	
												〃 0212	
												〃 0213	
舵効き特性	カーボン	基本形	0~40	-5	0	0	0	-	0	0	0	0	880FS0000360
													〃 0430
													〃 0431
													〃 0432
													〃 0222
													〃 0223
													〃 0224
													〃 0225
													〃 0226
													〃 0361

試験項目・形態		マツハ数	試験条件 (deg.)								TEST No.									
項目	形態	M	α	β	δ_e	δ_z	δ_r	δ_c	δ_{BF}	δ_{ESB}	δ_{BSB}									
舵効き特性	カナード ラダー	基本形態	3.0	0~40	-5	0	0	0	-15	-	0	0	880FS0000493 〃 0494 〃 0230 〃 0231 〃 0227 〃 0228 〃 0229 〃 0364							
			0.5		0			-15	0											
			1.0																	
			2.0																	
舵効き特性	ラダー	基本形態	2.0	0~40	0	0	0	-15	0	-	0	0	880FS0000365 〃 0366 〃 0436 〃 0437 〃 0438 〃 0232 〃 0233 〃 0234 〃 0235 〃 0236 〃 0367 〃 0368 〃 0369 〃 0439 〃 0440 〃 0441 〃 0295 〃 0296 〃 0495 〃 0496 〃 0497 〃 0293 〃 0294 〃 0498 〃 0499 〃 0500 〃 0316 〃 0522 〃 0523 〃 0317 〃 0524							
			3.0																	
			0.5																	
			1.0																	
			2.0																	
			3.0																	
			0.5																	
			3.0																	
			0.5																	
			3.0																	
			0.5																	
			3.0																	
			0.5																	
			3.0																	
			0.5																	
			3.0																	
舵効き特性	ラダー	基本形態	3.0	0	-10~10	0	0	30	0	-	0	40	880FS0000525 〃 0249 〃 0250 〃 0251 〃 0252 〃 0253 〃 0370 〃 0371 〃 0372							
胴上 ブレーキ 効き効果	胴上 スピード ブレーキ		0.5	0~40				0												
			1.0	0																
			2.0																	

試験項目・形態		マッハ数	試験条件 (deg.)									TEST No.
項目	形態		M	α	β	δ_e	δ_a	δ_r	δ_c	δ_{BF}	δ_{ESB}	
胴上 ブレーキ 効き効果	胴上 スピード ブレーキ	基 本 形 態	3.0	0~40	0	0	0	0	-	0	60	880FS0000460
			0.5									〃 0461
			1.0									〃 0462
			2.0									〃 0257
			3.0									〃 0258
			0.5									〃 0254
			3.0									〃 0255
			3.0									〃 0256
ボディ フラップ 効果	ボディ フラップ	ボディ フラップ 付形態	0.5	0~40	0	0	0	0	-	0	60	880FS0000463
			1.0									〃 0373
			3.0									〃 0374
ボディ フラップ 効果	ボディ フラップ	ボディ フラップ 付形態	1.0	0~40	0	0	0	0	-	0	40	880FS0000464
			2.0									〃 0465
			3.0									〃 0297
			0.5									〃 0298
			3.0									〃 0507
			3.0									〃 0508
			3.0									〃 0509
			1.0									880FS0000240
			2.0									〃 0241
			3.0									〃 0237
ボディ フラップ 効果	ボディ フラップ	ボディ フラップ 付形態	4.0	0~40	0	0	0	0	-	0	0	880FS0000238
			3.0									〃 0239
			2.0									〃 0376
			1.0									〃 0377
			0.5									〃 0378
			3.0									〃 0448
			4.0									〃 0449
			1.0									〃 0450
			2.0									〃 0584
			3.0									〃 0585
			0.5									〃 0586
			1.0									〃 0587
ボディ フラップ 効果	ボディ フラップ	ボディ フラップ 付形態	2.0	0~40	0	0	0	0	-	0	0	880FS0000239
			3.0									〃 0242
			0.5									〃 0243
			1.0									〃 0244
			2.0									〃 0245
			3.0									〃 0246
			0.5									〃 0379
			1.0									〃 0380
			2.0									〃 0381
			3.0									〃 0451
			0.5									〃 0452
			1.0									〃 0453
ボディ フラップ 効果	ボディ フラップ	ボディ フラップ 付形態	2.0	0~40	0	0	0	0	-	15	30	〃 0247
			3.0									〃 0248

試験項目・形態		マッハ数	試験条件 (deg.)									TEST No.							
項目	形態	M	α	β	δ_e	δ_s	δ_r	δ_c	δ_{EF}	δ_{ESB}	δ_{EB}								
ボディ フラップ 効果	ボディ フランジ 付形態	3.0	0	-5	0	0	0	-	30	0	0	880FS0000454							
		0.5										〃 0455							
		3.0							15			〃 0456							
チップ フィン 効果	チップ フィン	0.5	0~40	0	0	0	-	0	0	0	0	880FS0000259							
		1.0										〃 0260							
		2.0										〃 0261							
		3.0										〃 0262							
		0.5		-5								〃 0263							
		3.0										〃 0385							
		0.5	0	-10~10								〃 0386							
		3.0										〃 0387							
カナード 効果	カナード	0.5	0~40	0	0	0	-	0	0	0	0	880FS0000267							
		1.0										〃 0268							
		2.0										〃 0264							
カナード 効果	カナード	2.0	0~40	0	0	0	-	-	0	0	0	880FS0000384							
		3.0										〃 0457							
		0.5										〃 0458							
		3.0										〃 0459							
支持干渉効果		ボディフランジ付形態	0.5	0~40	0	0	0	-	0	0	0	880FS0000565							
												〃 0566							

試験項目・形態		マッハ数	試験条件(deg.)									TEST No.
項目	形態	M	α	β	δ_e	δ_s	δ_r	δ_c	δ_{BF}	δ_{ESB}	δ_{BSB}	
支持干渉効果	ボディ フラップ 付形態	1.0	0~40	0	0	0	0	-	0	0	0	880FS00000561
		2.0										〃 0562
		3.0										〃 0563
		0.5										〃 0539
		1.0							15	0	0	〃 0540
		2.0										〃 0541
		3.0										〃 0528
		1.0										〃 0529
支持干渉効果	ボディ フラップ 付形態	3.0										〃 0530
		0.5										〃 0531
		1.0										〃 0567
		2.0										〃 0568
		3.0										〃 0569
		1.0										〃 0570
		2.0										〃 0571
		3.0										〃 0542
支持干渉効果	ボディ フラップ 付形態	3.0	0~40	0	0	0	0	-	15	0	0	880FS0000533
		0.5										880FS0000534
		1.0										〃 0549
		2.0										〃 0550
		3.0							-15	0	0	〃 0555
		1.0										〃 0556
		2.0										〃 0557
		3.0										〃 0545

基本形態はボディフラップなしとする。

付表6 62B形状によるHOP E超音速風洞試験項目

試験項目・形態		ノルム数	試験条件(deg.)							TEST No.
項目	形態	M	α	β	δ_r	δ_e^n	$\delta_e^{\alpha\alpha}$	δ_{RF}	δ_{RSB}	
基本特性	基本形態	1.5	0~40	0	0	0	0	0	0	880NS0012823
		2.0								〃 12824
		3.5								〃 12829
		2.0	-5~35	5	0	0	0	0	0	〃 12837
		3.5								〃 12838
		1.5								〃 12836
		3.5	10	-5~20						〃 12840
舵効き特性	エレボン	2.0	0~40	0	0	-10	0	0	0	880NS0012825
		3.5								〃 12830
		2.0								〃 12826
		3.5				-10	0	0	0	〃 12831
		2.0	右10	右10	0					〃 12827
	ラダー	3.5	左10	左10	0	0	-10	0	0	〃 12832
		2.0								〃 12828
		3.5	-5~35	5	右10	0	-10	0	10	〃 12833
		2.0								〃 12839
		3.5	0~40	0	0					〃 12834
										〃 12835

エレボンの操舵は右舷側のみ

付表7 HOPE／ロケット組合せ遷音速風洞試験項目

形態1 (62A形状HOPE+H-IIロケット)

試験項目・形態		マッハ数	試験条件 (deg.)		TEST No.
項目	形態		M	α	
基本特性	基本形態	0.8	-10~10	0.0	880NT0200502
				22.5	" 0513
				45.0	" 0524
				67.5	" 0535
				90.0	" 0546
				0.0	" 0557
				22.5	" 0568
				45.0	" 0579
				67.5	" 0590
				90.0	" 0601
				0.0	" 0373
				22.5	" 0384
		1.1	-6~6	45.0	" 0395
				67.5	" 0406
				90.0	" 0417
				0.0	" 0428
				22.5	" 0439
				45.0	" 0450
				67.5	" 0461
				90.0	" 0472

形態2 (62A形状HOPE+H-IIロケット相乗りペイロード付き)

試験項目・形態		マッハ数	試験条件 (deg.)		TEST No.
項目	形態		M	α	
基本特性	基本形態	0.8	-6~6	0.0	880NT0200626
				45.0	" 0633
				90.0	" 0640
				0.0	" 0661
				45.0	" 0654
				90.0	" 0647
				0.0	" 0668
				45.0	" 0675
				90.0	" 0682
				0.0	" 0703
				45.0	" 0696
				90.0	" 0689
		1.1	-6~6	0.0	
				45.0	
				90.0	
				0.0	
				45.0	
				90.0	
				0.0	
				45.0	
				90.0	
				0.0	
				45.0	
				90.0	

形態3 (62A-1形状HOPE+H-IIロケットフィンなし)

試験項目・形態		マハ数	試験条件 (deg.)		TEST No.	
項目	形態	M	α	Φ		
基本 特性	基本 形態	0.8	-10~10	0.0	880NT0100014	
				22.5	" 0028	
				45.0	" 0039	
				67.5	" 0050	
				90.0	" 0061	
		0.95		0.0	" 0072	
				22.5	" 0083	
				45.0	" 0094	
				67.5	" 0105	
				90.0	" 0116	
		1.1		0.0	" 0141	
				22.5	" 0152	
				45.0	" 0163	
				67.5	" 0174	
				90.0	" 0185	
		1.3		0.0	" 0196	
				22.5	" 0207	
				45.0	" 0218	
				67.5	" 0229	
				90.0	" 0240	

形態4 (62A-1形状HOPE+H-IIロケットフィン付き)

試験項目・形態		マハ数	試験条件 (deg.)		TEST No.	
項目	形態	M	α	Φ		
基本 特性	基本 形態	0.8	-6~6	0.0	880NT0100272	
				45.0	" 0279	
				90.0	" 0286	
		0.95		0.0	" 0293	
				45.0	" 0300	
				90.0	" 0307	
		1.1		0.0	" 0314	
				45.0	" 0321	
				90.0	" 0328	
				0.0	" 0335	
				45.0	" 0342	
		1.3		90.0	" 0349	

付表8 HOPE／ロケット組合せ超音速風洞試験項目
形態1 (62A形状HOPE+H-IIロケット)

試験項目・形態		マハ数	試験条件 (deg.)		TEST No.	
項目	形態	M	α	Φ		
基本特性	基本特性	1.5	-10~10	0.0	880NS0012816	
				45.0	〃 12815	
				90.0	〃 12814	
				0.0	〃 12801	
		1.8		22.5	〃 12802	
				45.0	〃 12803	
				67.5	〃 12804	
				90.0	〃 12805	
		2.0		0.0	〃 12808	
				45.0	〃 12807	
				90.0	〃 12806	
				0.0	〃 12809	
		2.5		22.5	〃 12810	
				45.0	〃 12811	
				67.5	〃 12812	
				90.0	〃 12813	

形態2 (62A形状HOPE+H-IIロケット相乗りペイロード付き)

試験項目・形態		マハ数	試験条件 (deg.)		TEST No.	
項目	形態	M	α	Φ		
基本特性	基本特性	1.8	-10~10	0.0	880NS0012817	
				45.0	〃 12818	
				90.0	〃 12819	
		2.5		0.0	〃 12822	
				45.0	〃 12821	
				90.0	〃 12820	

形態3 (62A-1形状HOPE+H-IIロケットフィンなし)

試験項目・形態		マハ数	試験条件 (deg.)		TEST No.	
項目	形態	M	α	Φ		
基本特性	基本特性	1.5	-10~10	0.0	880NS0012799	
				45.0	〃 12798	
				90.0	〃 12797	
				0.0	〃 12793	
		1.8		0.0	〃 12800	
				45.0	〃 12792	
				90.0	〃 12791	
				0.0	〃 12794	
		2.5		45.0	〃 12795	
				90.0	〃 12796	

TEST NO.880NS0012793のみHOPE天秤計測

形態4 (62A-1形状HOPE+H-IIロケットフィン付き)

試験項目・形態		マハ数	試験条件 (deg.)		TEST No.
項目	形態	M	α	Φ	
基本特性	基本特性	1.8	-10~10	0.0	880NS0012788
				45.0	〃 12789
				90.0	〃 12790

付表9 62A形状によるH O P E 極超音速風洞試験項目

試験項目・形態		マハ数	試験条件 (deg.)						TEST No.	
項目	形態		M	α	β	δ_{BF}	δ_e	δ_s	δ_r	
基本特性	基本形態	7.1	0~40	0	0	0	0	0	0	880NH0002574 〃 2583
舵効き特性	ボディ フラップ	基 本 形 態	7.1	0~40	0	-10	0	0	0	880NH0002582 〃 2568 〃 2569 〃 2570 〃 2571
	エレベータ					10	0			〃 2572 〃 2573
	エルロン					-10	0			〃 2575 〃 2576
	ラダー					10	10			〃 2577
	エレベータ					0	0			〃 2578
	単垂尾					0	0	0	0	880NH0002581 〃 2586 〃 2580 〃 2585 〃 2579
尾翼特性	双垂尾	尾 翼 形態変更	7.1	0~40	0	-5	0			〃 2584
	尾なし					0	0			〃 2577
トリム範囲	基本形態	7.1	0~40	0	0	15	15	0	0	880NH0002578 〃 2577
流れの可視化	オイルフロー	基本形態		40	0	-30	-35			データベースなし

付表10 62B形状によるH O P E 極超音速風洞試験項目

試験項目・形態		マハ数	試験条件 (deg.)								TEST No.				
項目	形態	M	α	β	δ_r	δ_e^n	δ_e^{ax}	δ_{BF}	δ_{SB}	θ_{TP}					
基本特性	基本形態	7.1	10~48	0	0	0	0	0	0	0	880NH0002591				
			30	-20~18							〃 2608				
			5~43	-5							〃 2609				
舵効き特性	エレボン	7.1	10~48	0	0	-10	0	0	0	0	880NH0002593				
						10	0				〃 2594				
						0	-10				〃 2595				
						10	10				〃 2596				
						-10	-10				〃 2597				
	ラダー					左10	0	0	0	0	〃 2598				
						右10					〃 2599				
						6~44	-5				〃 2600				
						左10	〃 2610								
						10~48	0	0			〃 2601				
尾翼特性	尾翼なし	7.1	10~48	0	0	0	0	0	0	—	880NH0002592				
	キャント角		6~44	-5							〃 2603				
			10~48	0		左10					〃 2611				
			10~48	0		〃 2604									
翼平面形特性	小スパン翼	7.1	10~48	0	0	0	0	0	0	30	880NH0002605				
			6~44	-5							〃 2612				
			10~48	0		左10					〃 2606				
			10~48	0		〃 02607									

付表11 62C形状によるH O P E 極超音速風洞試験項目

試験項目・形態			試験条件(deg.)							TEST No.
項目	形態	M	α	β	δ_r	δ_e	δ_{BF}	δ_c	δ_{SB}	
基本特性	エレボン	基本形態	7.1	0~40	0	0	0	0	0	880NH0002614 〃 2631 〃 2632
					5					
					20					
舵効き特性	カナード	基本形態	7.1	0~40	0	0	0	0	0	880NH0002671 〃 2618 〃 2619 〃 2620 〃 2621 〃 2622 〃 2623 〃 2625 〃 2626 〃 2627
ブレーキ	胴上SB	胴上SB	7.1	0~40	0	0	0	0	0	880NH0002628
チップフィン特性	チップフィン	チップフィンなし	7.1	0~40	0	0	0	0	0	880NH0002616 〃 2629
					5					
カナード特性	カナード	カナードなし	7.1	0~40	0	0	0	0	0	880NH0002615 〃 2630
					5					
流れの可視化	オイルフロー	基本形態		30 38 20	0	0	0	0	0	データベースなし

胴上SB：胴上スピードブレーキ

航空宇宙技術研究所資料 655号

平成5年5月発行

発行所 航 空 宇 宙 技 術 研 究 所

東京都調布市深大寺東町7丁目44番地1

電話三鷹 (0422) 47-5911 (大代表) 〒182

印刷所 株式会社 セイコー社

東京都調布市西つつじヶ丘1丁目5番地15

Printed in Japan